

Maputo, 16 de Junho de 2011

Prof. Engº Luís Filipe Dutra Oliveira
Prof. Doutor Engº António Gualtaras
Guedes, Elvilio Malo Guedes

Superintendente:

Assunto:

Mlongrafia submetida ao Departamento de Engenharia Química como requisito
para a obtenção de grau académico de Licenciatura

Estudo da geragão de biogás tendo como precursor o resíduo
da indústria avícola cama de frangos.

DEPARTAMENTO DE ENGENHARIA QUÍMICA
FACULDADE DE ENGENHARIA



Alfredo

Maputo, 16 de Junho de 2011

Sucessivamente:

Prof. Engº Luís eira Duarte Eça
Prof. Doutor Engº António Gualande

Atentamente:

Gualande, Gláduo Malu Gualande

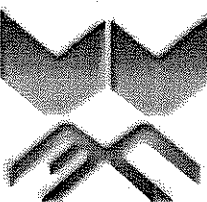
Mönografia submetida ao Departamento de Engenharia Química como requisito
para a obtenção de grau académico de Licenciatura

Estudo da geragão de biogás tendo como precursor o resíduo
da indústria avícola cama de frangos.

DEPARTAMENTO DE ENGENHARIA QUÍMICA

FACULDADE DE ENGENHARIA

UNIVERSIDADE Eduardo Mondlane



DEDICATÓRIA

A memória dos meus pais,

Feliciano Gueulme Messobane e Delfina Jullao Noveira, que em vida arquitetaram o sonho que se está a concretizar, são os seus ensinamentos a placentia desse universo que a cada dia desponta, não como miragem.

A minha mãe Maria Helena Machuzza, pela compreensão.

Aos meus irmãos, Osvaldo, Helder e Felicio, pela fé em mim.

AGRADECIMENTOS

Agradecimento especial vai aos meus supervisores, Dr. Doutor Engº Antônio Cumbane e Engº Lucrécio Durante Biquilaza, pelo acompanhamento, críticas e sugestões ao meu trabalho.

Agradecimento especial vai aos meus funcionários da Faculdade de Engenharia, em especial aos do Departamento de Engenharia Química, que de alguma forma contribuiram para que com sucesso chegassem a esta etapa da longa caminhada na qual acompanharam-me.

Aos meus colegas do curso, em especial ao Ernesto Ubisse, ao Dilson Chidengue e Leonete Utxavo, e a Ana Mapasse pela solidariedade acadêmica prestada, o meu muito obrigado.

Ao Engº Tomo e a todo pessoal do laboratório de solos do Departamento De Engenharia Rural da Faculdade de Agronomia e Engenharia Florestal, vai o meu muito obrigado.

Ao pessoal do laboratório de Engenharia de Móquambique (LEM) em especial ao Eleuterio e a Amínia, vai o meu muito obrigado.

Agradecendo a toda minha família por todo tipo de apoio prestado durante todo este período da minha formação, serrei eternamente grato.

Agradecendo aos meus amigos, José Zondela, Hermenegildo Senago e ao Ivo Lihanga pelo caloroso ambiente proporcionado durante a infância.

Por último, a todos que numa maneira direta ou indireta tiveram sua contribuição na realização desse trabalho, meu muito obrigado.

Santo Agostinho.

“..... Deus vos concedeu a inteligéncia e a ciéncia, se não para a repartirdes com vossos irmãos, para os adiantar na senda da aventura e da eterna bem-aventurança.”

O propósito desse trabalho foi fazer o estudo da gerágão de biogás bem como do potencial de produgão de biofertilizante pela biodegradação anaeróbica tanto como precursor a C.F como fonte de gerágão de biogás e de biofertilizantes ao contrário do valor patológico e ecologicos que esta pode originar, se o seu descarte é depositado não for tradicionalmente atribuído (o de composto), e por outro lado, pela redução de riscos controlado.

Para tal foram submetidas a biodegradação duas amostras de C.F e uma de esterco de bovinos, em biodigestores laboratoriais do tipo batch de 1 litro de capacidade. As condições do processo foram variando mediante os objetivos específicos do trabalho.

Foi feita a caracterização das amostras das camas de frangos e dos dejetos de pederias antes da biodegradação com vista a apurar a qualidade do resíduo. E com vista a apurar a contribuição dos diferentes fatores; a agitação, temperatura, concentração dos sólidos totais, e a relação entre o carbono e nitrogênio que afetam o processo estudado foi feita a gerágão de biogás para produzir horaria do volume de biogás caracterizado da lama resultante do processo.

A taxa de gerágão de biogás foi determinada pela medida horária da cama de frangos à lama resultante da biodigestão.

Embora com uma resistência à biodegradação do material celulósico da C.F, foi possível gerar biogás e biofertilizante, tendo-se obtidos os melhores resultados para a biodegradação com 30% de inoculo com o potencial de biogás gerado de 0.09 m³.kg⁻¹ em 18 dias e pela biodegradação termofílica no intervalo de temperaturas de 57 - 59°C com o potencial de biogás gerado de 0.09 m³.kg⁻¹ com o tempo de retenção de 8 dias, sendo a

RESUMO

temperatura o factor que se evidenciou mais importante para a biodegradação C.F nas condições estudas.

A grande varabilidade do volume de biogás gerado claramente aliado a resistência do material celulósico à biodegradação, foi elucida por modelos matemáticos (dependencia

do volume gerado de biogás com o tempo) que consistiram em equações polinomiais de 4º e 5º grau.

Para a continuação deste estudo, recomenda-se que se faça o estudo da interação dos diferentes fatores estudados que influenciam a biodegradação, para a optimização do processo de gerador de biogás na base da C.F.

Palavras-chaves: Cama de frangos, Biodegradação anaeróbica, biogás.

Dedicatoria	I	Indice
Agradecimentos	II	Páginas
Resumo	III	
Índice	IV	
Listas de Figuras	V	
Listas de Tabelas	VI	
Símbologia	VII	
Nomenclatura	VIII	
Resumo	IX	
Índice	X	
Listas de Figuras	XI	
Listas de Tabelas	XII	
Símbologia	XIII	
Nomenclatura	XIV	
Capítulo I: Introdução	1	
1. INTRODUÇÃO	1	
1.1. Objetivo	2	
1.2. Metodologia	2	
Capítulo II: Revisão da literatura e Enquadramento teórico	5	
2. ENQUADRAMENTO TEÓRICO E REVISÃO DA LITERATURA	5	
2.2.1. Gênesis e desenvolvimento	6	
2.2.2. Propriedades do biogás	8	
2.2.3. Manuseamento e uso	9	
2.3. Biofertilizante	10	
2.4. Biocombustão metanica	11	
2.5. Fatores que afetam a biodegradação anaeróbica	13	
2.5.1. Temperatura	14	
2.5.2. Agitação	16	
2.5.3. pH	17	
2.5.4. Tempo de retenção	17	
2.5.5. Relação C/N	18	

ANEXOS

.....	51
Capítulo VI: Referências Bibliográficas	
.....	6. BIBLIOGRAFIA
.....	5.1. Conclusões
49	5.2. Recomendações
50
Capítulo V: Considerações Finais	
.....	4. ANÁLISE E DISCUSSÃO DE RESULTADOS
34
Capítulo IV: Análise e Discussão de Resultados	
27	3.3. Poder Ferilizante
29	3.4. Determinação da taxa de geração de gás
32	3.5. Cinética das Reacções
49
50
Capítulo V: Considerações Finais	
.....	5.1. Conclusões
49	5.2. Recomendações
50
Capítulo VI: Referências Bibliográficas	
.....	6. BIBLIOGRAFIA

Listas de Figuras

Páginas

Figura 2.1 Cama de frangos composta de serradura de madeira.....	5
Figura 2.2 Esquema da degradação anaeróbica.....	13
Figura 2.3 Variação da produção de biogás com a temperatura.....	15
Figura 3.1 Fluxograma das etapas da investigação laboratorial.....	23
Figura 3.2 Fracção massica do resíduo.....	24
Figura 3.3 Esquema das correntes para o balanço massico.....	26
Figura 3.4 Planta laboratorial para a produção de biogás.....	29
Figura 3.5 Representação das montagens efectuadas durante as experiências.....	31
Figura 4.1 Taxa de gerágio de biogás com agitação magnética (B.C.A) e sem agitação magnética (B.S.A).....	36
Figura 4.2 Comparação entre a gerágio de gás com agitação e sem agitação em termos percentuais de volume de gás gerado.....	37
Figura 4.3 Taxa de gerágio de biogás com aquecimento (B.A.Q) na faixa mesofílica 34-36°C e a temperatura ambiente (B.A).....	38
Figura 4.4 Comparação entre a gerágio de gás com aquecimento e sem aquecimento em termos percentuais de volume de gás gerado.....	39
Figura 4.5 Biodegradação de cama de frango (AL) e dejetos de pederdas (AP) na faixa termofílica 57 – 59 °C, com a exceção de AL que foi na faixa mesofílica 25 °C.....	40
Figura 4.6 Taxa de gerágio de biogás a diferentes concentrações da carga da alimentação.....	42

- Figura 4.7 Produção de biogás em desperdiços não hidrolisados de aves 43
- Figura 4.8 Taxa de gerágão de biogás a diferentes percentagens de inóculo 44
- Figura 4.9 Taxa de gerágão de gás a diferentes razões C/N 46

Lista de tabelas

Páginas

Tabela 2.1 Propriedades físicas e químicas do metano.....	9
Tabela 2.2 pH óptimo para diferentes células.....	17
Tabela 3.1 Plano experimental.....	30
Tabela 4.1 Valores de pH e da percentagem de sólidos totais e voláteis.....	34
Tabela 4.2 Teores de N, P, K, Ca e Mg na amostra antes e depois da degradação.....	47

SÍMBOLOGIA

a:	Concentragão de P determinada na amostra (mg L^{-1})
A:	Massa de esterco a dosear
A ₁ :	ml gases na titulação da amostra
A ₂ :	ml de sulfato de amônio-ferroso gases na titulação da amostra.
A _s :	Absorvância
b:	Concentragão de fosforo no ensaio em branco (mg L^{-1})
B:	Produção de metano (litro CH_4/g sv adicionado)
B ₁ :	ml gases na titulação do ensaio em branco
B ₂ :	ml de sulfato de amônio-ferroso gases na titulação do ensaio em branco.
C _p :	Concentragão de fosforo em mg/l
CA:	Volume de biogás gerado por agitação contínua.
B ₀ :	Produção máxima de metano (litro CH_4/g sv adicionado) quando $\theta \rightarrow \infty$
B ₁ :	ml de sulfato de amônio-ferroso gases na titulação do ensaio em branco.
B ₂ :	ml de sulfato de amônio-ferroso gases na titulação da amostra.
A _s :	Absorvância
b:	Concentragão de fosforo no ensaio em branco (mg L^{-1})
B:	Massa de serradura a dosear
B ₁ :	Produção de metano (litro CH_4/g sv adicionado)
B ₂ :	ml gases na titulação do ensaio em branco
C _b :	Concentragão de potássio
E _a :	Energia de activação
E _d :	Energia de desactivação
f:	Fator da humidade
F:	Volume de biogás gerado sem aquecimento.
g:	Volume máximo de gás gerado
k:	Constante cinética
K:	Parâmetro cinético (adiimensional)
K _L :	Coeficiente de transferência de massa
M:	Peso molecular do nitrogénio

m^a	Massa da amostra	
n	Normalidade exata de solução de sulfato de amônio - ferroso.	
N	Normalidade da solução de HCl	
Ns	Fluxo do substrato limitante do meio Bulk do líquido para a célula	
P	Peso da amostra (g)	
Q	Volume de biogás gerado pelo aquecimento.	
R	Constante universal dos gases	
S	Concentração do substrato no meio bulk	
SA	Volume de biogás gerado por agitação manual intermitente.	
Sc	Concentração do substrato na superfície da célula	
S_0	Concentração de SV do influente (g/l)	
ST	Sólidos totais	
SV	Sólidos voláteis	
T	Temperatura	
Tr	Tempo de retenção	
γ	Volume gerado ate ao instante t	
W_s	Massa de solo	
v_a	Volume da amostra	
V_a	Volume de água	
v_{ag}	Quantidade de água para a diluição	
a_d	Volume do diluído	
$\%$ ST	Percentagem de sólidos totais na amostra	

Simbólos gregos

θ : Tempo de retenção hidráulico – TRH (dias)

u_{max} : Velocidade específica máxima de desenvolvimento das bactérias (dia^{-1})

t^* :

Produção volumétrica do gás ($l\text{CH}_4/l.\text{dia}$)

d :

Densidade da amostra

p_a :

Densidade da água

Nomenclatura

Batch : Reator descontínuo

CTR : Continuous Stirring Tank Reactor (Reator contínuo de agitação preferida)

DAO : Demanda química de oxigênio

PER : Plug flow reactor (Reactor tubular)

UASB : Upflow Anaerobic Sludge Blanket

A produção avícola tem vindo a crescer em Moçambique. Dados apontam para um crescimento na produção de carne de frango na ordem de 155,3% do ano de 2008 para 2009. No ano de 2009 a produção de frango foi de 48,061,1 toneladas, dos quais 10,844,1 toneladas (22,6%) pertencentes ao setor familiar, 36,471,5 toneladas (75,9%) pertencentes ao setor privado e 745,5 toneladas (1,5%) ao setor cooperativo.

A actividade avícola quando não bem monitorada no que diz respeito ao manuseamento dos resíduos e seu descarte, pode contribuir para a contaminação das águas e dos solos com nutrientes, agentes patogénicos e sedimentos, e emissão à atmosfera de gases que possam acarretar riscos ecológicos (amoníaco, metano, óxidos de azoto e de enxofre).

O metano é o óxido nitroso que são gases que possam resultar da biodegradação da camada de frangos trazem grande preocupação devido ao seu tempo de vida na atmosfera (12 anos para o CH₄, e 120 para o N₂O) e seu potencial de aquecimento global com relação ao CO₂ (21 para o CH₄ e 310 para o N₂O).

Um dos métodos de aproveitamento e tratamento dos resíduos que se tem mostrado viável é a sua fermentação anaeróbica (fermentação na ausência de oxigénio), com vista a gerar gás de biogás e a estabilização da matéria orgânica fermentada. O método é simples e barato, já alguns estudos citados por Hill, D.T (1983); Mahadevswamy & Venkataraman (1986) demonstraram ter o estrume de aves maior potencial de produção de biogás, quando comparado com outros resíduos (principalmente de bovinos) e consequentemente alto teor de metano.

O manuseamento, o descarro bem como o reaproveitamento do resíduo "cama de frangos", constitui tema de estudo que requeria maior abordagem, principalmente no contexto moçambicano.

Este trabalho pretende mostrar um estudo feito sobre a gerágão de biogás e possível obtenção de biofertilizante tendo como precursor a cama de frangos que é o resíduo obtido do processo de biodegradação.

1. INTRODUGÃO

A metodologia consistiu na revisão da literatura e na realização de experimentais laboratoriais em simultâneo. Da concepção do tema até a elaboração do relatório da tese derivaram-se as seguintes fases:

1.2 METODOLOGIA

- A influência da adição de íoncloro para o processo.
- A influência da razão C/N do resíduo para o processo e,
- A influência da temperatura no processo;
- A influência da agitação no processo;
- A influência das como: pH, composição em N-P-K, cálcio (Ca) e magnésio (Mg).
- As características físicas de resíduos animais, nomeadamente, a densidade, teor de humidade, sólidos totais, sólidos volátiles e determinação das características químicas tais como:

Estudando-se especificamente dentro desse contexto,

- Variáveis que influenciam o meio anárquico.
 - Parâmetros operacionais;
- Influencia de,
- apoiando-se em estudos laboratoriais sobre a degradação anárquica, no que concerne à “cama de frangos” para gerágio de biogás e a possivel produção de biofertilizante, O presente trabalho tem como objetivo geral o estudo de reaproveitamento do resíduo

1.1. OBJETIVO

obtido em maior quantidade na produção avícola. O biogás que é uma mistura gaseosa constituída essencialmente pelos gases metano (CH_4) e dióxido de carbono (CO_2) é uma fonte de energia térmica, que pode ser de uso doméstico (iluminação, aquecimento e cozida) como combustível, bem como em diversas outras aplicações.

A seleção e recolha de amostras do resíduo; biodegradação das características físicas e químicas da cama de frangos; biodegradação das amostras da cama de frango foi após a biodigestão. Os métodos usados para a caracterização da lama foram os mesmos aplicados à cama de frangos.

Posta a seleção e recolha das amostras avançou-se com a determinação das características físicas avançando com a operacionalização da instalação para a geração do biogás, e o registo do volume do digestão das amostras em análise, após a caracterização das amostras procedeu-se com o magnésio foram determinados por espetofotometria de absorção atómica após a digestão da cama; a composição em cálcio (Ca) e magnésio (Mg), o cálcio e método de fotometria de chama; a composição em cálcio (Ca) e magnésio (Mg), o cálcio e espetofotometria na região do visível, o potássio (K) determinado foi também total, pelo determinado foi o fosforo total pelo método colorimétrico de molibdato por nitrogênio determinado foi o nitrógeno total (N-total), pelo método de Kjeldahl, o fosforo químicas tais como, o pH, pelo método potenciométrico; composição em N-P-K, o constante; sólidos volátiles pela incineração na multa e determinação das características teor de humidade e sólidos totais pela pesagem após secagem do resíduo até peso caracertísticas físicas do resíduo, nomeadamente: a densidade pelo método de imersão;

A primeira fase constitui na seleção na recolha de três amostras, sendo duas amostras da cama de frangos, e uma de detritos de aves poedeiras. Duas de cama de frangos, das cíclios de criação de cerca de 60 dias, e uma de detrito de poedeira de cerca de 120 dias quais uma resultante de um ciclo de criação de cerca de 15 dias, e a outra oriunda de dois ciclos de criação de cerca de 60 dias, e uma de detritos de aves poedeiras. Duas de cama de frangos, das amostras avançou-se com a determinação das características físicas avançando com a operacionalização da instalação para a geração do biogás, e o registo do volume do digestão das amostras da cama de frango foi após a biodigestão. Os métodos usados para a caracterização da lama foram os mesmos aplicados à cama de frangos.

- A seleção e recolha de amostras do resíduo;
- Determinação das características físicas e químicas do resíduo depois da biodegradação;
- Biodegradação das amostras da cama de frangos;
- Determinação das características físicas e químicas do resíduo antes da biodegradação;
- A análise dos resultados e sua discussão;
- Análise de sua discussão e,
- A compilação e análise de toda a informação para a elaboração do relatório de trabalho.

INTRODUCÃO

A quinta fase constitui na análise dos resultados e sua discussão e por fim a compilação e análise de toda a informação para a estruturação do trabalho.

- ¹ Pirolyse rápida é um processo no qual matéria orgânica é rapidamente incinerada entre 500-600°C na ausência de ar.
- ² Compostagem é um processo biológico de decomposição controlada da fracção orgânica contida nos resíduos de modo a resultar num produto estável.
- ³ Vermicultura é o uso de espécies de minhocas especiais para degradar matéria orgânica.

O valor da cama de frangos está ligado estreitamente à sua composição química que é bastante variável, dependendo dos seguintes factores:

A cama de frangos pode ser reaproveitada para a fabricação de ração para o gado bovino; como biomassa, para a alimentação dos formos de gaseificação, alimentação de boidigestores para a geração de biogás e reactores para a geragão de gases de efluídos, carvão animal pela pirolyse rápida¹. Como fonte de nutrientes para as plantas é um corretivo para os solos pelo processo de compostagem² e pela vermicultura³.

Figura 2.1 Cama de frangos compostada serradura de madeira



A cama de frangos é todo o material distribuído sobre galpões para servir de leito às aves, sendo uma mistura de excrementos, penas das aves, ração, e o material utilizado sobre o piso (Figura 2.1). Cama de frangos compostada serradura de madeira).

2.1. CAMA DE FRANGOS

2. ENQUADRAMENTO TEÓRICO E REVISÃO DA LITERATURA

Em 1884, Louis Pasteur conclui na apresentação do trabalho do seu discípulo Ulysse Gayon, que o gás da fermentação poderia ser usado para o aquecimento e iluminação de um quarto. O biogás, ou "gás dos plantanos", foi descoberto por Shirley em 1667. Já em 1630 Van Helmont citava, entre 15 gases diferentes, um gás inflamável libertado no processo de putrefacção e presente nos gases intestinais. Em 1776, o físico Alexander Volta revelou a presença do metano no Marsh gas, e em 1790 Priestley revelou em suas observações, que o gás era combustível.

Em 1884, Louis Pasteur conclui na apresentação do trabalho do seu discípulo Ulysse Gayon, que o gás da fermentação poderia ser usado para o aquecimento e iluminação de um quarto. O biogás, ou "gás dos plantanos", foi descoberto por Shirley em 1667. Já em 1630 Van Helmont citava, entre 15 gases diferentes, um gás inflamável libertado no processo de putrefacção e presente nos gases intestinais. Em 1776, o físico Alexander Volta revelou a presença do metano no Marsh gas, e em 1790 Priestley revelou em suas observações, que o gás era combustível.

No ano de 1890, Van Senns descreveu que a fermentação anaeróbica era resultado da ação de diferentes grupos de microorganismos e Schlossing conseguiu a fermentação de estúme sob ação de bactérias termofílicas num meio seco, entre 50 e 60 °C, tendo obtido 27 litros por quilograma de estúme.

Em 1901, Schwenck descreveu em detalhes as características morfológicas dos microorganismos da produção de metano (as metanobacterias) e propôs uma ideia da sua degradabilidade. Em 1914, Thum e Reicht distinguiram dois níveis da fermentação

2.2.1. Gênese e desenvolvimento

2.2. BIOGÁS

- A natureza e quantidade do material celulósico usado como cama de frangos;
- Nível de reutilização da cama;
- A idade dos frangos;
- Alimento (composto da raça);
- Regime de criação das aves (densidade de alojamento);
- E das técnicas de manuseamento do resíduo (temperatura e humidade).

A ideia do aproveitamento do biogás como combustível parece remontar de 1857, quando duma experiência realizada em Bombaim (Marques et al., 1984). Em 1894, Donald Cameron idealizou uma fossa septicá para a cidade de Exeter na Inglaterra. O gás seria utilizado para a iluminação das estradas da cidade e seria também usado em Londres para mover máquinas a vapor. Um ano depois, foi realizada a primeira experiência europeia em Exeter, com vista à utilização do gás para a iluminação. O sucesso desta experiência estimulou a construção e o uso de alguns aparelhos de gerador de gás por volta do ano de 1920 ainda na Inglaterra (Marques et al., 1984).

Na década 40, o biogás foi utilizado com uma certa intensidade quer para o aquecimento e iluminação quer para alimentação de motores de combustão interna. Nas décadas 50 e 60, ocorreu o desenrolar de um estudo de bactérias metanogénicas. Embora os estudos finos energéticos na Europa e nos Estados Unidos (Marques et al., 1984), ocorreu o desenvolvimento da produção de biogás para fins energéticos na Europa e Hungria durante a década 70, o biogás voltou a ser tema de extrema importância despeitando o interesse geral. Nesta época a geração de energia na base de biogás evidenciou-se na China onde esta prática foi promovida vigorosamente.

Devido aos problemas energéticos enfrentados na década 70, o biogás voltou a ser tema isolamento, purificando e identificando a metanobactéria envolvida nas diferentes etapas de estudo de bactérias metanogénicas. Bryant teve o primeiro sucesso em 1967 no estudo elaborou uma técnica anaeróbica, posteriormente melhorada por Bryant, para o isolamento, purificando e identificando a metanobactéria envolvida nas diferentes etapas da biometanização.

O ressurgir das instalações da produção de biogás em muitos países, nos últimos anos, não se deve a um problema puramente energético. Estas instalações apareceram visando a solução dos problemas ambientais em círculo intensiva quer por determinados resíduos industriais extremos dos animais em círculo intensiva quer por determinados resíduos industriais resolução parcial dos problemas ambientais promovidos quer pela acumulação dos resíduos industriais orgânicos, (Marques et al., 1984).

metanogénica nos meios ácidos e alcalinos. Em 1936 Baker isolou microrganismos mais apropriados para a fermentação a etanol, propanol e butanol.

O biogás é uma mistura gaseosa resultante da biodegradação anaeróbica da matéria orgânica: estrume humano e animal, desperdícios, resíduos orgânicos agropecuários e industriais com mais de 2% de composto orgânica, em determinadas condições (Croock, 1979). Segundo National Academy Of Science (1977) o biogás é constituído por metano (50-70%), dióxido de carbono (30-50%) e pequenas quantidades de sulfureto de hidrogênio, nitrogênio, hidrogênio, e monóxido de carbono, e alguns outros hidrocarbonetos.

O metano puro é incolor, inodoro e insípido, mas a presença de outros gases fazem com que o biogás tenha um odor desagradável a ovo podre.

O peso do metano é aproximadamente metade do peso do ar.

$1\text{m}^3 \text{ de metano}/1\text{m}^3 \text{ de ar} = 0.716\text{kg}/1.243\text{kg} = 0.554\text{kg}$

A solubilidade do metano em água é baixa, a 20°C e 1atm, somente três unidades de volume podem dissolver-se em 100 unidades de volume de água.

Pela combustão completa 1m³ de metano pode atingir uma temperatura de 1400°C e libertar 35823-39748 kJ, a combustão completa de 1m³ de biogás poderá libertar 23012-27196 kJ de calor, Croock (1979). Segundo National Academy Of Science (1977), o biogás arde com uma chama azul acompanhada com um desprendimento de calor na ordem de 21987-25983 kJ/m³ quando o conteúdo de metano é de cerca de 60-70%.

Algumas propriedades químicas e físicas do metano encontram-se tabeladas abaixo.

2.2.2. Propriedades do biogás

2.2.3. Manuseamento e uso

national academy of science, (1977).

Fonte: Kurz et al (1959), Johnson and Autch (1981) e West, et al (1964), adaptada de

CH ₄	Formula Química
16.042	Peso molecular
-161.49 °C	Ponto de ebulição a 1 atm
-182.48 °C	Ponto de fusão a 1 atm
4645 Kpa	Pressão crítica
82.5 °C	Temperatura crítica
0.415	Specific gravity
0.0007	Gás (a 25°C e 1 atm)
1.47 m ³ /kg	Volume específico a 15,5°C e 1 atm
38130.71 kJ/m ³	Poder calorífico a 15,5°C e 1 atm
9.53	Quantidade de ar requerida para
50 - 15% de volume	Límite de flammabilidade
130	Octane rating
650 °C	Temperatura de ignição
3.48 por peso	O ₂ /CH ₄ combustão completa
2.0 por volume	O ₂ /CH ₄ combustão completa
2.74 por peso	CO ₂ /CH ₄ combustão completa
1.0 por volume	CO ₂ /CH ₄ combustão completa
Reacção de combustão	CH ₄ + 2CO ₂ → CO ₂ + H ₂ O; AH = -887 kJ

Tabela 2.1 Propriedades físicas e químicas do metano

Os biofertilizantes possuem compostos bioativos, resultantes da biodigestão de compostos orgânicos de origem animal e vegetal. Em seu conteúdo são encontradas células vivas ou latentes de microrganismos de metabolismo aeróbio, anaeróbio e fermentação.

Correktivos são substâncias que são adicionadas ao solo com a finalidade de modificar ou melhorar algumas das suas características ou propriedades, tais como: a reacção, a estrutura, ou a capacidade de retenção de água.

Adubos são fertilizantes, sobretudo de material mineral e resultantes de processos de manufatura complexos, cuja composição é regulada por legislação própria.

Adubos são fertilizantes, que são substâncias que são adicionadas ao solo com a finalidade de modificar ou melhorar a estrutura, ou a capacidade de retenção de água.

Ideias sobre o conceito e distinção entre os termos fertilizantes, adubos e correktivos têm sido divergentes. Segundo Foth citado por Amarillis (1996), fertilizantes são substâncias orgânicas ou inorgânicas de origem material ou sintética, que são aplicadas ao solo ou às plantas com a finalidade de fornecerem um ou mais nutrientes.

2.3. BIOFERTILIZANTE

- Reduzir a composição do dióxido de carbono (CO_2) através de processos biológicos.
- Reduzir a pressão para valores entre 13.8 - 20.7 MPa, para prevenir a liquefação do dióxido de carbono.
- Aumentar a pressão para valores entre 13.8 - 20.7 MPa, para prevenir a redução do poder calorífico do biogás.
- Reduzir a composição do hidrogénio (H_2S) para menos de 0.25% para a prevenção da corrosão.
- Reduzir a composição do sulfureto de hidrogénio (H_2S) para menos de 0.25% para processos específicos, com vista a:

O uso do biogás para motores de combustão requer equipamentos especiais bem como refrigeração, a baixas pressões e sem que seja necessariamente purificado. Como combustível para motores de combustão interna com uma razão de compressão $> 8:1$, depende da composição de metano (CH_4), dióxido de carbono (CO_2) e sulfureto de hidrogénio (H_2S). O uso do biogás para motores de combustão requer equipamentos especiais bem como refrigeração, a baixas pressões e sem que seja necessariamente purificado. Como combustível para motores de combustão interna com uma razão de compressão $> 8:1$, depende da composição de metano (CH_4), dióxido de carbono (CO_2) e sulfureto de hidrogénio (H_2S).

Segundo Corbitt & Robert (1990), a degradação anaeróbica é uma reacção de três etapas:

Numa segunda fase - fase metanica - bactérias obrigatoriamente anaeróbicas contínuam esta decomposição ~~X~~ transformando os ácidos orgânicos e seus sais sobretudo em metano (CH_4) e dióxido de carbono (CO_2).

Numa primeira fase - fase ácida - bactérias facultativas anaeróbicas decomponem os compostos orgânicos complexos transformando-os em ácidos orgânicos (principalmente ácido acetico e propionico) e álcoois.

McKinney (1962) & Bungay (1980) citam que a degradação anaeróbica processa-se em duas fases, e através de dois tipos distintos de bactérias:

2.4. BIOCONVERSÃO METANICA

Segundo Oliveira & Nogueira citados por Biquilaza (1992) o resíduo da biodegradação anaeróbica, depois da fermentação, perde 5 a 10% de peso, mas o seu valor fertilizante, pelo contrário, aumenta, visto que pela fermentação anaeróbica evita-se as perdas de oxigénio presentes na biomassa. De modo análogo, as perdas de amônaco são nulas, assim como das matérias amoniacais e azotadas que, no estrume tradicional, são dispersas no ar enquantos durante o processo de biodegradação, são fixadas e reduzidas.

Para além do incremento da produtividade, a produção de biofertilizante é apontada como uma das formas de melhoramento das condições de higiene sanitária e o controlo da poluição, dado que com a degradação dos resíduos reduz-se o número de bactérias parasitas, vírus e outros organismos patogénicos em cerca de 90%.

(Fe), manganes (Mn), cobre (Cu), zinco (Zn), boro (B), molibdénio (Mo) e cloro (Cl).

Os nutrientes essenciais que os fertilizantes fornecem ao solo classificam-se em macro-nutrientes e micro-nutrientes. Os macro-nutrientes são os elementos absorvidos em grandes quantidades pelas plantas, são os casos do nitrogénio (N), fósforo (P) e potássio (K) pertencentes aos macro-nutrientes principais. Já o cálcio (Ca), o magnésio (Mg) e o enxofre (S) pertencem aos macro-nutrientes secundários. Os micro-nutrientes são: ferro (Fe), manganes (Mn), cobre (Cu), zinco (Zn), boro (B), molibdénio (Mo) e cloro (Cl).

O sódio (Na) é um nutriente que é absorvido pelas plantas, mas não é considerado um nutriente essencial, embora seja importante para o crescimento das plantas.

- Hidrolise de compostos orgânicos solídos suspensos em compostos orgânicos solúveis;
- Acetogênese, conversão dos compostos orgânicos, orgânicos solúveis em ácidos gordos voláteis (em maior percentagem o ácido acético).
- Metanogênese, conversão dos ácidos voláteis (preferencialmente ácido acético) em metano.
- Para a maioria dos resíduos orgânicos, o metano (CH_4) e o dióxido de carbono (CO_2), são formados pela decomposição do ácido propionico e outros ácidos voláteis.
- Almeida (1984) cita que a produção do metano a partir dos compostos orgânicos complexos decorre segundo quatro fases, a seguir descritas:

 - Uma primeira fase em que por hidrólise, as substâncias de moléculas complexas, em geral insolúveis, são transformadas por enzimas em parcelas solúveis,
 - Uma fase de acidificação em que por ação de diversos grupos de bactérias facultativas formam ácidos orgânicos, ácido acético, álcoois, hidrogênio (H_2) e dióxido de carbono (CO_2). Destes produtos apenaas as bactérias metanogênicas conseguem transformar ácido acético, hidrogênio (H_2) e dióxido de carbono diretamente em metano;
 - Uma fase seguinte, acetogênica em que são transformados os ácidos orgânicos e os álcoois em ácido acético. O grupo de bactérias actuante tem de estar estritamente ligado às bactérias metanogênicas.
 - Uma fase metanogênica em que se forma o metano, sobretudo a partir do ácido acético, H_2 e CO_2 . A figura 2.2 ilustra o esquema da degradação anaeróbica da matéria orgânica.

- pH do substrato;
- Tempo de retenção;
- Agitação;
- Temperatura;

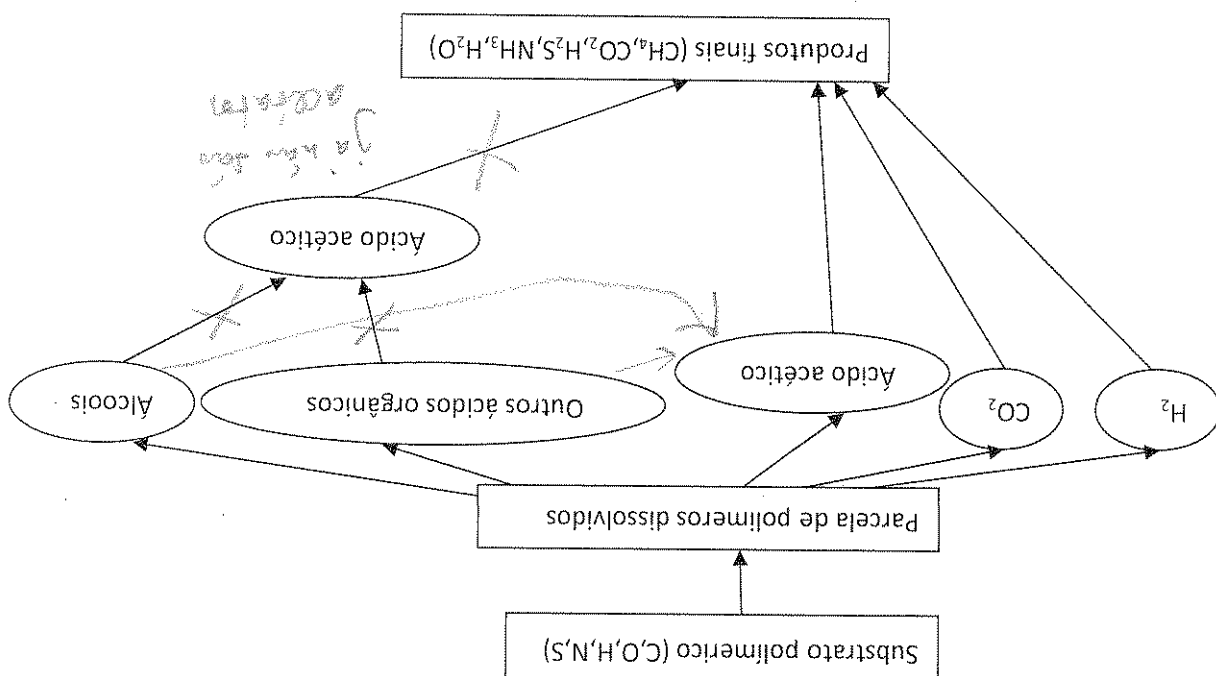
principalmente dos seguintes fatores:

Segundo McKinney & Ross (1962), a chave de qualidade trataamento biológico de resíduos, recai na estabilidade dum a adequada de microrganismos, dependendo

2.5. FATORES QUE AFETAM A BIODEGRADAÇÃO METANICA E CONSEQUENTE GERAGAO DE GÁS

Fonte: Adaptado de Almeida (1984).

Figura 2.2 Esquema da degradação anaeróbica.



A velocidade das reacções biológicas é claramente função da temperatura. Segundo as faixas de temperaturas dos microorganismos classificam-se em, organismos mesofílicos ($20^{\circ}\text{C} < T_{\text{optima}} < 50^{\circ}\text{C}$), psicofílicos ($T_{\text{optima}} < 20^{\circ}\text{C}$) e termofílicos ($T_{\text{optima}} > 50^{\circ}\text{C}$), (Asenjo et al., 1994). A velocidade da reacção principalmente na região termofílica (Asenjo et al., 1994), é considerável na velocidade da reacção principalmente na região termofílica (Asenjo et al., 1994).

Um acréscimo de 10°C , na zona próxima a temperatura óptima dita um incremento considerável na velocidade da reacção principalmente na região termofílica (Asenjo et al., 1994).

Considerando que a temperatura óptima para a conversão metaníca tem sido levada a cabo na gama mesofílica, embora a faixa termofílica apresente-se como a faixa contendo o maior pico de produção (ver Figura 2.3), estas temperaturas tornam-se impraticáveis, devido aos custos de energia necessária para promover o aquecimento.

Geradamente a conversão metaníca tem sido levada a cabo na gama mesofílica, embora a faixa termofílica apresente-se como a faixa contendo o maior pico de produção (ver Figura 2.3), estas temperaturas tornam-se impraticáveis, devido aos custos de energia necessária para promover o aquecimento.

Um acréscimo de 10°C , na zona próxima a temperatura óptima dita um incremento considerável na velocidade da reacção principalmente na região termofílica (Asenjo et al., 1994).

2.5.1. Temperatura

- Relação carbono/nitrogénio (C/N);
- Percentagem da matéria sólida, e da;
- Toxicidade.

X - massa das células

A e A' - áreas seccionadas

$-E_a/RT$ - Mortalidade das bactérias relativa a temperatura.

$-E_a/RT$ - Velocidade específica de crescimento das bactérias com a temperatura.

Onde, $\frac{dt}{dx}$ - representa a variação da massa das células (bactérias) com o tempo

$$\text{Onde } \mu = A e^{-E_a/RT} \text{ e } k_d = A' e^{-E_a/RT}$$

$$\frac{dt}{dx} = (\mu - k_d)X$$

seguinte equação:

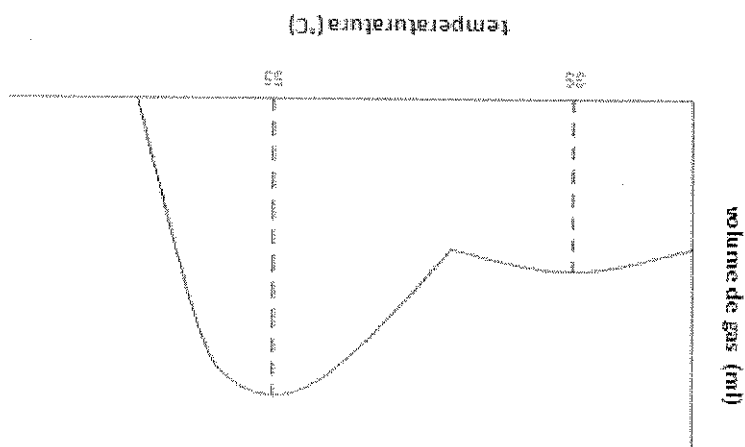
O crescimento das bactérias influenciado pela temperatura pode ser representado pela

pH pela formação de ácidos durante a biodegradação anaeróbica.

Comparativamente às acidogênicas, o que contribui para prevenção do abrandamento do crescimento das bactérias influenciado pela temperatura metanogênicas

Fonte: Margnac et al. (1984).

Figura 2.3 Variação da produção de biogás com a temperatura



Uma distribuição uniforme de matéria orgânica e energia no biodigestor é requerida para manter uma elevada população bacteriana. Isto pode ser conseguido pela recirculação e sem mistura, podendo contribuir-se para uma elevada concentração de ácidos voláteis, que irão reduzir a alcalinidade e o pH, retrocedendo a produção de biogás, ou até mesmo inibir o desenvolvimento das bactérias.

Uma agitação promove uma melhor distribuição das temperaturas e massa no reator, reduz a acumulação de algumas substâncias que resulta no aumento da viscosidade e consequente redução da difusão da matéria pelas diferentes fases envolvidas, reduz também a formação de espuma e os problemas relacionados com sua acumulação de ácidos.

Embora a formação de espuma tenha sido descrito como o mais simples problema na digestão, há que se ter atenção, pois se uma camada de espuma quebra-se, uma carga pesada de matéria orgânica será acrescida a matéria orgânica por ser digerida, e uma elevada concentração de ácidos voláteis poderá ocorrer contribuindo para a degradação do meio.

Por outro lado, a limitação do substrato, pode contribuir também para a degradação do meio com a morte das bactérias, a limitação pode ser vista como um efeito puro da transferência de massa.

O fluxo do substrato limitante do meio bulk do líquido para a célula (N_s) é dada por:

$$N_s = k^L (S - S_c)$$

Onde: k^L - Coeficiente de transferência de massa

S_c - Concentração do substrato na superfície da célula

S - Concentração do substrato no meio bulk

$N_s = k^L (S - S_c)$

O fluxo do substrato limitante do meio bulk do líquido para a célula (N_s) é dada por:

2.5.2. Agitação

pois o tempo de retenção na fase líquida é pouco significativo. Nos sistemas em que para extremos de animais, o tempo a considerar é o tempo de retenção de sólidos,

degradada é o tempo de retenção hidráulico.

O tempo que a matéria-prima introduzida no reator deve permanecer no sistema para ser

2.5.4. Tempo de retenção

Fonte: Asenjo e Merchuk (1994).

Células	pH (intervalo)	Animais
Bactérias	4 - 8	
Fungos	3 - 6	
Moldes	3 - 7	
Plantas	5 - 6	
Animais	6,5 - 7	

Tabela 2.2 pH óptimo para diferentes células

A variação do pH depende da natureza do substrato, particularmente na fonte de nitrogênio. É comum usar amônia como fonte de nitrogênio. Neste caso o pH decrece durante a fermentação quando o amônio é usado pelas células.

O pH afeta o crescimento biológico. A biodegradação é usualmente no pH óptimo ou em valores próximos do óptimo para a maioria dos microrganismos, o intervalo aceitável de pH pode variar em volta do óptimo por uma ou duas unidades (intervalo total de 3 a 4 unidades), ver Tabela 2.2 onde constam intervalos óptimos de pH de diferentes microrganismos. Em alguns casos, o pH óptimo para o crescimento das bactérias pode ser diferente para a formação do produto desejado (por exemplo: síntese de ácidos).

2.5.3. pH

Ns - Fluxo do substrato limitante do meio bulk do líquido para a célula

Segundo Almeida (1984), quanto ao teor de sólidos, ele deverá ser o mais elevado possível, um teor de sólidos de 20-25% permite uma elevada produtividade biogás.

No que concerne ao biofertilizante, a quantidade de azoto que pode existir é também determinada pela relação C/N, no caso em que houver nitrogênio em demasia, a degradação que para quando se esgota o carbono fica incompleta, o nitrogênio em excesso não é degradado e o azoto libera-se, diminuindo o poder fertilizante do biofertilizante. A relação ideal é de C:N = 20-30:1, (Almeida, 1984).

E de extrema importância a relação C/N, pois esta razão na matéria a digerir é decisiva para a produção de biogás, dela depende não só a sua composição e portanto seu poder calorífico, mas também a quantidade de gás produzido.

Os microorganismos que intervêm no processo da biodigestão necessitam de carbono (C) e do nitrogênio (N) para sua alimentação. Elas utilizam o carbono em quantidades superiores às quantidades de nitrogênio requeridas por elas.

2.5.5. Relação C/N

A consideração do processo em termos de permanência da matéria-prima no sistema formece indicações puramente qualitativas já que a biodigestão da matéria orgânica depende da quantidade de microorganismos presentes e a existência dum populaçao de microorganismos dotada de elevada velocidade de reprodução que permite a degradação rápida da matéria independentemente dos valores do tempo de retenção.

$$Tr = \frac{\text{Volume d'água da alimentação}}{\text{Volume do digestor}}$$

Para os reatores do tipo descontínuo pode considerar-se o tempo de retenção equivalente a duração do ciclo da biodigestão. Para a maioria dos reatores convencionais de tipo contínuo ou semi-contínuo o tempo de retenção (Tr) é dado por,

ocorre a mistura completa, o tempo de retenção de sólidos é o tempo de retenção hidráulico coincidem, podendo usar-se indistintamente qualquer um delas.

- Sistemas de alta velocidade (sistemas de filtro anaeróbico ou reatores UASB).
- Sistemas continuos (CSTR e PFR) e;
- Sistemas de acumulação;
- Sistemas batch;

Os digestores anaeróbicos podem ser classificados em,

conjuntamente com efluentes de resíduos agropecuários.

preférios para efluentes domésticos de pequenas comunidades rurais em geral, tempos de retenção, logo grandes volumes de reator. Dada à sua simplicidade, são (ou idade das lamas) são da mesma ordem de grandeza, exigindo-se assim elevados da biomassa pelo que o tempo de retenção hidráulico é o tempo de retenção dos solidos concentragões em sólidos suspensos, não apresentando nenhum sistema para a retenção um reator clássico utilizado no tratamento de lamas de esgotos domésticos com elevadas impota referir aos reatores de crescimento contínuo, nomeadamente o digester, que é

São conhecidos oito tipos de reatores: cinco de filme fixo e três de crescimento suspenso, dos quais alguns podem tender para filme fixo se ao longo da operação se ocorrer a granulação do fluxo.

2.6.1. Tipos de Reatores

2.6. Reatores de biodegradação anaeróbica

Para a degradação da camada de frango o nitrogênio pode formar-se um fator inibitório quando em altas concentrações na forma de amônia lívrea (NH_3).

As bactérias metanogénicas comumente consideradas, são as mais sensíveis a toxicidade dentro todos os microorganismos que participam na biodegradação. Entretanto assim como outros microorganismos, as bactérias metanogénicas podem tolerar uma vasta variedade de toxinas.

2.5.6. Toxicidade

⁴ Chorume é o estriume líquido

O sistema PFR é alimentado continuamente e a matéria reacional atravessa o reator em direção horizontal sem nenhuma mistura. Todo o chorume é retido no reator durante

Sistemas PFR

Os sistemas de acumulação são os de mais fácil aplicação no campo, na biodigestão de resíduos, por empregarem todas as facilidades normalmente disponíveis no campo.

Os sistemas de acumulação são usados para a biodigestão da fracção líquida do reator e vazado de uma só vez. No volume efectivo do reator ao longo do tempo de duração do processo. Este tipo de chorume⁴ animal, são alimentados concomitantemente e são caracterizados por um aumento no volume efectivo do reator ao longo do tempo de duração do processo. Este tipo de reator é vantoso, porque pouco preferível, contudo, elas são simples e recomendadas quando a concentração continua é a mistura se tornam complicadas na biodigestão de estriume alimentado continuamente, contudo, elas são simples e recomendadas quando o reator batch é pouco preferível, contudo, elas são simples e recomendadas quando o reator batch de grandes volumes de reator e os longos períodos de retenção, tornam o necessário de tanques adicionais na alimentação bem como no effluente, a

Sistemas de acumulação

concentrado, Zeeeman, citado por Bioguia (1992). A necessidade de tanques adicionais na alimentação bem como no effluente, a alimentação continuada é a mistura se tornam complicadas na biodigestão de estriume concentrado, Zeeeman, citado por Bioguia (1992).

O reator batch é uma conceção para 85-90% de resíduo fresco e 10-15% de inó ocúlo, Zeeeman, citado por Bioguia (1992). O reator batch é uma conceção para 85-90% de resíduo fresco e 10-15% de inó

geralmente em condições mesofílicas. Gradualmente convertido em gás metano, num período aproximadamente de 30 dias, tratando-se de esterco bovino, o material biodegradável neste tipo de reator é

Sistema batch

Os reactores são comumente operados em paralelo, série ou fase. Nos processos tradicionais de digestão um só reactor, geralmente de crescimento suspenso com agitador, realiza todo o processo de tratamento anaeróbico. Por vezes, como é o caso nalgumas situações de lamas de esgoto doméstico, existe um segundo digestor que, essencialmente, não passa de um separador das fases líquida e sólida.

Como os detritos animais contêm muitas suspensões orgânicas, sistemas de elevada velocidade, como USB ou filtro anaeróbico, são próprios para a biodigestão da matéria bruta. A aplicação destes sistemas no campo é apenas recomendada para a biodigestão de estumes líquidos e é mais cara, Zeeeman, citado por Biqizá (1992).

Sistemas de alta velocidade

Um sistema CSTR é alimentado continuamente, garantindo uma mistura perfeita de bactérias e substrato. Estes têm consequentemente, igual tempo de retenção. A uma constante taxa de alimentação, a produção de biogás também constante. Tal como no PFR, um tanque adicional para o effluente é necessário.

Sistema CSTR

Estes sistemas proporcionam uma produção constante de gás a uma constante taxa de alimentação. Na sua aplicação no campo é necessário um tanque adicional para o effluente.

Orientada a uma máxima redução patogénica.

Todo o tempo de retenção. Este tempo é especialmente importante quando a biodigestão é

No âmbito da realização do presente trabalho de licenciatura, foram realizadas várias pesquisas laboratoriais, nos laboratórios do Departamento de Engenharia Química, no laboratório de Solos do Departamento de Engenharia Rural da Faculdade de Agroonomia e Engenharia Florestal e no laboratório de química dos Laboratórios de Engenharia Química, no Moinambique, com o objetivo de determinar a contribuição dos diversos fatores que influenciam a biodegradação em meio anaeróbico da cama de frangos. Para tal foram realizadas as seguintes experiências:

- Determinação das características físicas da cama de frangos, nomeadamente, a densidade, teor de humidade, sólidos totais, sólidos voláteis e determinação das características químicas tais como, o pH, compostos em N-P-K, cálcio (Ca) e magnésio (Mg).
- Medição do desenvolvimento da gerágão de biogás com agitação contínua e com agitação manual intermitente.
- Medição do desenvolvimento da gerágão de biogás com agitação contínua e proximas a 35°C, para a faixa mesóflica e entre 57-59°C, para a faixa e a temperaturas típicas como óptimas por vários autores (temperaturas próximas a 35°C, para a faixa mesóflica e entre 57-59°C, para a faixa e a temperaturas típicas como óptimas por vários autores (temperatura ambiente termodifícias).
- Medição do desenvolvimento da gerágão de biogás à temperatura ambiente concentradas, 6, 8 e 10% de sólidos totais na carga da alimentação dos biogases.
- C/N na carga da alimentação dos biogases.

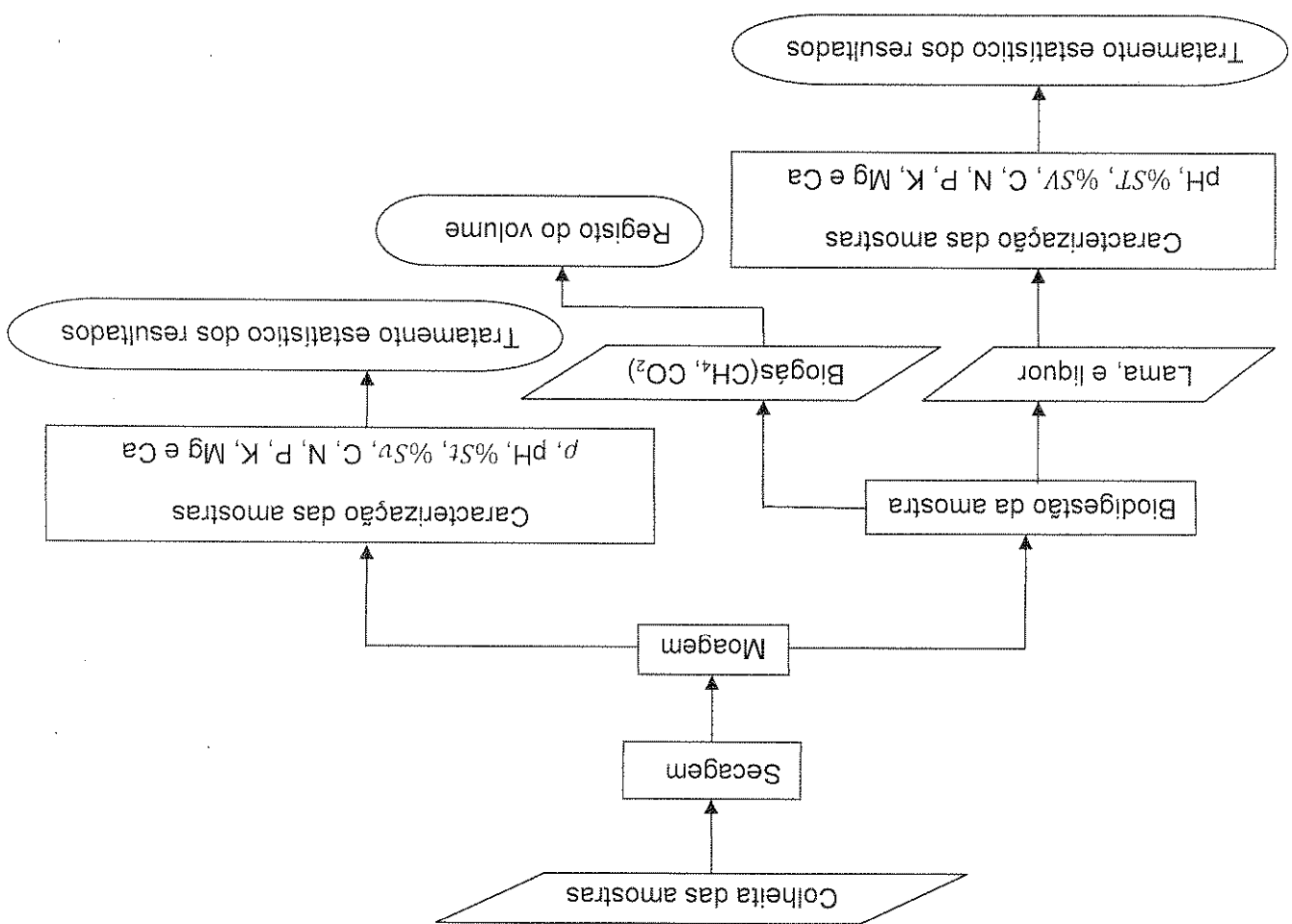
Construídas para a consecução dos objectivos do trabalho.

3. INVESTIGAÇÃO LABORATORIAL

Em seguida são descritos todos os procedimentos da investigação laboratorial efectuada. As amostras depois de secas a 105°C por cerca de 12 horas, foram submetidas a moagem para uma granulometria inferior a uma malha de 0,355 mm da série ASTM. E conservadas em recipiente coberto para evitar a perda de nitrogênio por volatilização. Formam colhidas três amostras de efeitos, duas de cama de frangos, duas quais uma resultante de um ciclo de crigão de cerca de 15 dias, e a outra oriunda de dois ciclos de crigão de cerca de 60 dias, e uma de efeito de cerca de 15 dias, e a outra oriunda de cerca de 120 dias de vida.

As amostras depois de secas a 105°C por cerca de 12 horas, foram submetidas a moagem para uma granulometria inferior a uma malha de 0,355 mm da série ASTM. E conservadas em recipiente coberto para evitar a perda de nitrogênio por volatilização.

Figura 3.1 Fluxograma das etapas da investigação laboratorial



m_{st} - Massa dos sólidos totais (materia seca)

m_h - Massa da amostra húmida

Onde: W - Humidade da amostra em (%)

(3.1)

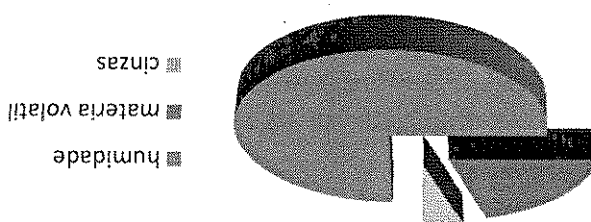
$$W = \frac{m_h - m_{st}}{m_h} * 100\%$$

A percentagem de humidade é calculada seguindo a equação:

constante.

de água contida no material é removida pela secagem a 105°C na estufa até peso constante, expressa como porcentagem em peso por peso do material total. A quantidade material, expressa como porcentagem em peso por peso do material total. A quantidade de água contida no material é removida pela secagem a 105°C na estufa até peso constante.

Figura 3.2 Fracção massica do resíduo.

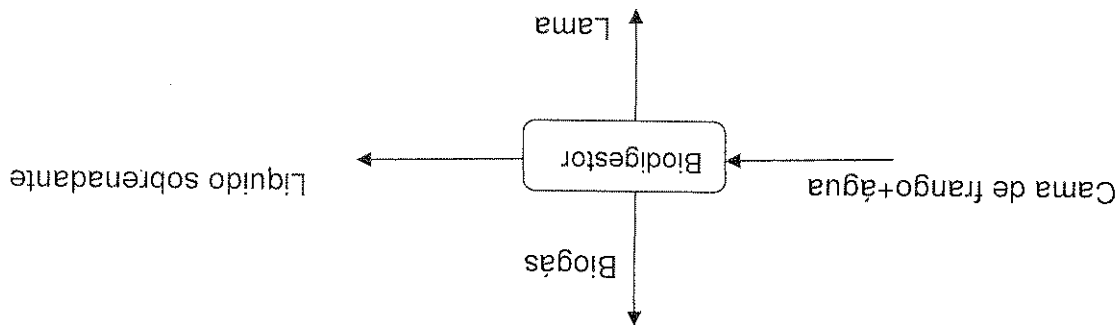


O resíduo (a biomassa) apresenta a seguinte fracção massica.

DEPOIS DA BIODERADAÇÃO.

3.1. DETERMINAÇÃO DAS CARACTERÍSTICAS FÍSICAS DO RESÍDUO ANTES E

Figura 3.3 Esquema das correntes para o balanço massico do biodigestor.



Na impossibilidade de se realizar balanços massicos para os processos experimentais devido a inexistência de meios para a determinação da demanda química de oxigênio que seria a variável medida nas três correntes (Figura 3.3. Esquema das correntes para o balanço massico do biodigestor) do processo. Foram determinadas as percentagens dos solidos volátéis no inicio e no fim dos processos com vista a ter-se uma ideia da eficiencia do processo de biodigestão nas condições experimentais estabelecidas.

O pH, o anti-logaritmo da concentração da hidrogénio, mais precisamente, o antilogaritmo da actividade dos íons de hidrogénio em moles/litro, foi determinado pelo método potenciômetro com ajuda do pH metro.

3.2. DETERMINAÇÃO DE CARACTERÍSTICAS QUÍMICAS

Os resultados foram tabulados, e são apresentados no capítulo 4, Tabela 4.1.

Anexo A.1.

A densidade determinada no presente trabalho foi a aparente pelo método de imersão, ver

volume dos poros, se possível, até mesmo eliminá-los.

- Densidade Bulk - massa por unidade de volume compactado, com vista a reduzir o

Nitrogênio

Para a avaliação do efeito da biodegradação no melhoramento do resíduo como biofertilizante, foram feitas análises com base nas técnicas de análise de solos, com visita a determinar as concentrações de N, P, K, Ca e Mg nas amostras da cama antes e depois de degradada.

Dos três macro nutrientes, o nitrogênio é o que exerce efeitos mais rápidos e pronunciados sobre o desenvolvimento das plantas. Sua função básica nela é estimular o crescimento vegetativo sendo responsável pela cor verde-escuro da sua folhagem, quando bem nutritidas. Controla a absorção de K, P e outros nutrientes pelas plantas.

O nitrogênio determinado foi o nitrogênio total (N-total), pelo método de Kjeldahl, ver anexo A.1.

E considerando o principal agente da pollinização e frutificação das plantas. As plantas bem nutritidas em fosforo resistem a doenças.

O fosforo possui relações importantes com outros nutrientes, contribuindo para melhor aproveitamento do potássio pelas plantas e controlando os efeitos que podem produzir excesso de nitrogênio e de cálcio no solo.

O fosforo possui relações importantes com outros nutrientes, contribuindo para melhor espelofotometria na região do visível, ver anexo A.1.

Fosforo

3.3. PODER FERTILIZANTE

O cálcio (Ca) e o magnésio (Mg) foram determinados por Espectrofotometria de absorção atómica após a digestão das amostras em ánsilas, ver anexo A.1.

Fosforo das semelhas.

O magnésio tem relâgio com o transporte de fosforo na planta, sendo que um bom suprimento desse nutriente pode mostrar a utilização do fosforo dos fertilizantes e do fosforo das semelhas.

Como um dos constituintes da clorofila, o magnésio entra na composição de tecidos das plantas.

Como íao absorvido, ou seja, retido no complexo coloidal do solo na forma de magnésio ionizável (Mg^{++}).

O magnésio aparece no solo em menores quantidades do que o cálcio e como este ocorre como íao absorvido, ou seja, retido no complexo coloidal do solo na forma de magnésio

Magnésio

É muito importante no desenvolvimento e funcionamento das raízes e na formação de folhas normais.

O cálcio é um nutriente extremamente importante na nutrição das plantas e o mais abundante nelas depois do potássio.

Cálcio

O potássio (K) determinado, foi também total, pelo método de Fotometria de chama, ver anexo A.1.

Este é um nutriente que todas as funções fisiológicas que ocorrem dentro das plantas.

Devido ao facto de ser amplamente distribuído dentro das células e existir primariamente na forma iônica, deve servir como catalisador ou co-fator para uma ou mais reacções enzimáticas das células vivas.

Potássio

O balão de vidro (1) foi inicialmente preenchido por água, que dependendo da gerágão de biogás era drenada por um segundo tubo de plástico (5), que partia da rolha (6) instalada

de capacidade onde acumulou-se o biogás produzido.

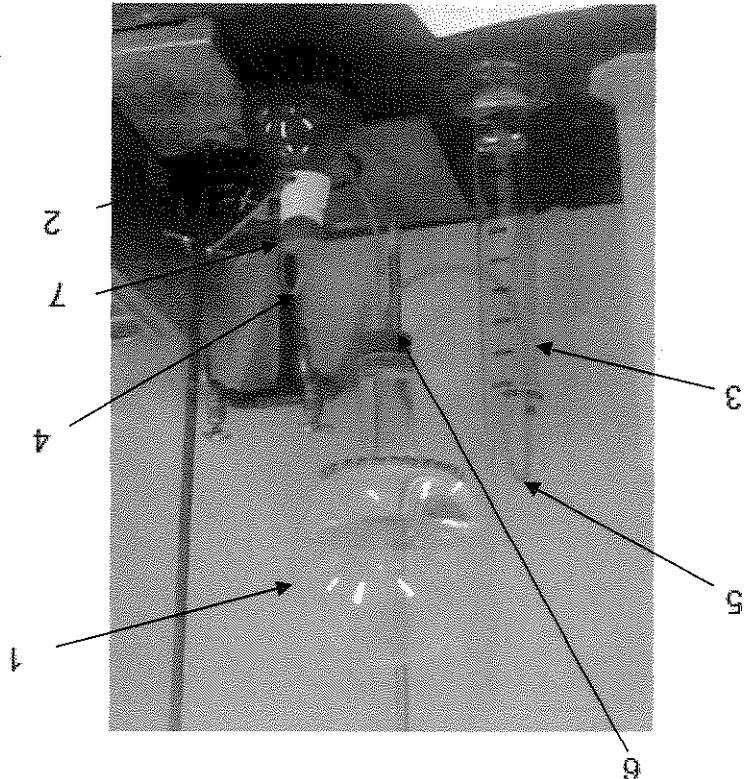
Num balão de vidro (2) de 1 litro de capacidade, que serviu de biodigestor, foi introduzida a matéria orgânica a ser degradada. Este balão foi fechado por uma rolha (7) com um orifício onde foi colocado um tubo de plástico (4) ligado a um balão de vidro de 6 litro (1)

a qual era drenada por um segundo tubo de plástico (5), que partia da rolha (6) instalada

4 e 5 – Tubos de plástico; 6 e 7 – Rolhas de borracha

Legenda: 1 – Balão de vidro; 2 – Balão de vidro; 3 – Proveia graduada

Figura 3.4. Instalação laboratorial para a produção de biogás.



apresentada na Figura 3.4.

Para a determinação da taxa de gerágão de biogás foi montada a instalação laboratorial

3.4. DETERMINAÇÃO DA TAXA DE GERAGÃO DE BIOGÁS

Exp. nº	Biodepositores	Condições da experiência					Esquema de montagem (dias)
		T(°C)	ST	F.A	In (%)	C/N	
1	B1	25	8	Manual	-	15	Figura 3.4.
2	B2	25	8	Continua	-	15	Figura 3.5(b).
3	B3	25	6	Manual	-	19	Figura 3.4.
4	B4	35	6	Manual	-	19	Figura 3.5(b).
5	B5	25	8	Manual	-	19	Figura 3.4.
6	B6	25	10	Manual	-	19	Figura 3.4.
	B7	25	8	Manual	10	19	Figura 3.4.
	B8	25	8	Manual	20	19	Figura 3.4.
	B9	25	8	Manual	30	19	Figura 3.4.
	B10	25	8	Manual	-	30	Figura 3.4.
	B11	25	8	Manual	-	40	Figura 3.4.
	B12	58	8	Manual	-	40	Figura 3.5(b).
	B13	58	8	Manual		14	

Tr - tempo de retenção.

In - percentagem de inoculo adicionado;

Onde: F.A - forma de promover a agitação;

Tabela 3.1 Plano experimental

A carga dos biodepositores, bem como o método de operação das plantas laboratoriais para a geração de biogás, foram variando consonante os requisitos das experiências. A tabela 3.1 abaixo, apresenta de forma resumida em que consistiram as experiências.

no balão de vidro (1) à proveta (3), onde se registrou o volume de água deslocado pela acção do volume de biogás gerado no balão (2).

Para cada experiência foi realizado um ensaio, pois se forem garantidas as mesmas condições operatórias e ambientais para os biodigestores, as curvas serão similares, com um desvio desprezável, facto este constatado por Biquila (1992) e segundo Isaac (1960) para determinadas condições fixas tais como: a natureza da matéria-prima, grau de agitação e temperatura, os biodigestores deverão produzir a mesma população bacteriana, as mesmas reacções biocimicas e a mesma constante de velocidade.

As curvas cumulativas de gerágio de biogás são apresentadas no capítulo 4.

O aquecimento para a gerágio de biogás a temperaturas próximas a temperatura tida como óptima 35°C , e as da região termofílica no intervalo de temperaturas de $57\text{--}59^{\circ}\text{C}$ foi promovido pelo banho termostático, no qual o biodigestor foi imerso, Figura 3.5 (b).

A agitação continua foi promovida por um agitador magnético no qual o biodigestor foi montado para a contribuição da temperatura.

O aquecimento para a gerágio de biogás a temperaturas próximas a temperatura óptima 35°C , e as da região termofílica no intervalo de temperaturas de $57\text{--}59^{\circ}\text{C}$ foi assegurado continuamente, Figura 3.5 (a).

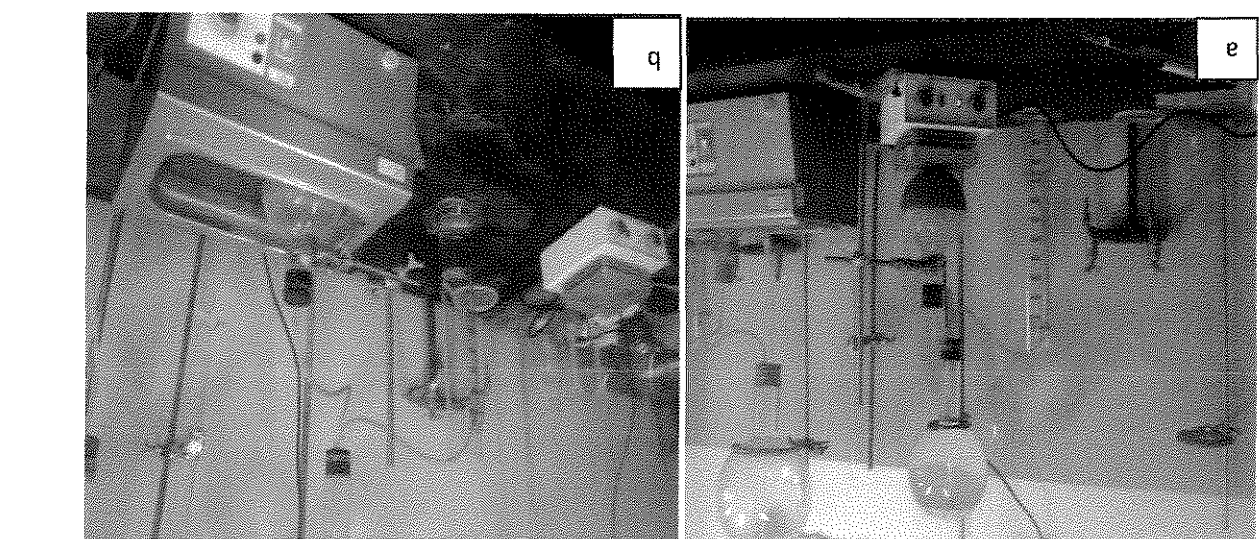


Figura 3.5 Representação das montagens efectuadas durante as experiências laboratoriais: a – montagem para a determinação da contribuição da agitação para a disponibilidade de oxigénio das resstanças experimentais; b – montagem para a disponibilidade de oxigénio das resstanças experimentais.

(3.5)

A aplicação da equação mono molecular foi baseada na assunção de que a velocidade da biodegradação é função da concentração do substrato por decompor. Portanto, a

depois dum tempo inicial de retard, a velocidade de produção de bióxidos cresceu ao máximo e depois decresceu. A primeira parte da curva seguiu uma equação exponencial, enquanto a segunda seguiu uma equação mono molecular.

Em suas pesquisas, para uma digestão batch, uma curva em formato de S foi obtida biodegradado com vista a gerarão de bióxidos.

Fair e Moore (1932) propuseram uma formulação matemática para o decurso da

Pesquisas na cinética e velocidade da reacção

A cinética da bioreacção pode ser obtida por publicação de informação disponível ou pelos dados obtidos experimentalmente pelo processo desenvolvido.

A informação da estadiometria complementa a informação da cinética e estas juntas: são o núcleo para o projeto da bioreactor.

3.5. CINÉTICA DAS REAÇÕES

anexo A.3.

Para o presente trabalho os modelos matemáticos que representassem a geração de biogás em função do tempo nos processos de biodigestão nas experiências realizadas foram determinados por regressão com auxílio do pacote informático Microsoft Excel, ver todos os termos podem ser experimentalmente determinados.

Os dois modelos apresentados anteriormente são de fácil análise prática, por envolver termos e variáveis facilmente mensuráveis. A exceção do μ_{max} do segundo modelo, todos os termos e variáveis facilmente mensuráveis. A exceção do μ_{max} do segundo modelo,

t_a - Produção volumétrica do gás ($L\ CH_4/L.dia$)

S_0 - Concentração de SV do influente (g/l)

μ_{max} - Velocidade específica máxima de desenvolvimento das bactérias (dia $^{-1}$)

θ - Tempo de retenção hidráulico - TRH (dias)

k - Parâmetro cinético (a dimensional)

B_0 - Produção máxima de metano ($L\ CH_4/g\ sv$ adicionado) quando $\theta \rightarrow \infty$

B - Produção de metano ($L\ CH_4/g\ sv$ adicionado)

Onde:

$$t_a = \left(B_0 \times S_0 \right) \times \left(1 - \frac{\theta \times \mu_{max}}{k} - \frac{1 + k}{k} \right)$$

(3.8)

$$B = B_0 \times \left(1 - \frac{\theta \times \mu_{max}}{k} - \frac{1 + k}{k} \right)$$

(3.7)

Chen e Hashimoto citados por Biquliza (1992) desenvolveram um modelo cinético para a digestão de estuque animal, baseado na cinética de Cottolis;

Os dados brutos para o trágado dos gráficos da geragão de biogás em função do tempo para cada experiência, constam no anexo A.3.

Da tabela se pode verificar que o maior rendimento na conversão da matéria foi atingido no processo em que se obteve maior volume acumulado de biogás; nomeadamente redução de sólidos voláteis da massa sólida do afluente do biodigestor com 30% de inoculo adicionado, cujo rendimento foi de cerca de 65,4% da biodigestão com 30% de inoculo adicionado, que se encontra no anexo A.3.

Reactor	pH	SV (%)	SV (%)	Antes Depois (%)	Depois (%)	Antes Depois (%)	Antes Depois (%)	Redução de SV (%)
B1	7.6	5.9	58	16.7	83	83	0	
B2	7.6	6.1	58	11.3	83	80	3.8	
B5	7.1	6.8	15.8	-	82	75	8.5	
B6	7.1	6.4	15.8	-	82	66.7	18.7	
B8	7.1	7.1	15.8	-	82	63.3	23.4	
B9	7.1	7.2	15.8	-	82	27.7	65.4	

Tabela 4.1 Valores de pH e da percentagem de sólidos totais e voláteis

Valores de pH e da percentagem dos sólidos totais e dos sólidos voláteis são apresentados abaixo na Tabela 4.1.

A densidade da amostra de cama de frangos do ciclo de crragão de 15 dias foi de 1.5±0.2 g/ml e a do ciclo de crragão de 60 dias foi de 1.7±0.3 g/ml.

4. ANÁLISE E DISCUSSÃO DE RESULTADOS

4.1. CONTRIBUIÇÃO DA AGITAGÃO

Uma vez que a agitação promove uma distribuição uniforme da matéria orgânica e da temperatura no bioreactor, bem como da população de bactérias, a geragão de biogás foi mais rápida no bioreactor com agitação contínua relativamente ao de agitado intermitente, Figura 4.1.

Observa-se que o volume de biogás gerado com a agitação ($0.009 \text{ m}^3 \cdot \text{kg}^{-1}$) é proximadamente duas vezes superior ao volume de biogás com agitação intermitente que foi de ($0.004 \text{ m}^3 \cdot \text{kg}^{-1}$) e prolongou-se por cerca de nove dias comparativamente ao processo de agitação intermitente.

Provavelmente pela agitação contínua promoveu-se maior transferência de massa, isto é, as células onde ocorre a reacção, facilitando a hidrolise (tida como o passo limitante na maior difusibilidade do material orgânico entre as fases sólida e líquida, do meio bulk para o dissolução da matéria) e dissolução da matéria solúvel.

Com base na observação da figura 4.1, o arranque da geragão de gás efectuou-se primeiro com agitação contínua, embora por uma margem pequena de diferenças, entretanto, na prática (produção em larga escala) esta margem de diferença pode ser bem maior e significativa tratando-se de volumes de reactores e de cargas de alimento bem maiores.

Uma vez que não existiu fluxo de entrada e nem de saída de substrato (matéria orgânica) durante a biodegradação, não se verificou uma constância no volume de biogás gerado por agitação bem como pelo volume gerado por agitação manual intermitente, pois uma constância no volume de biogás gerado, seria a existência de fluxo de entrada e saída de material durante o processo.

SA - Volume de biogás gerado por agitação manual intermitente.

Onde: CA - Volume de biogás gerado por agitação continua.

$$\% = \frac{CA-SA}{SA} \times 100\% \quad (4.1)$$

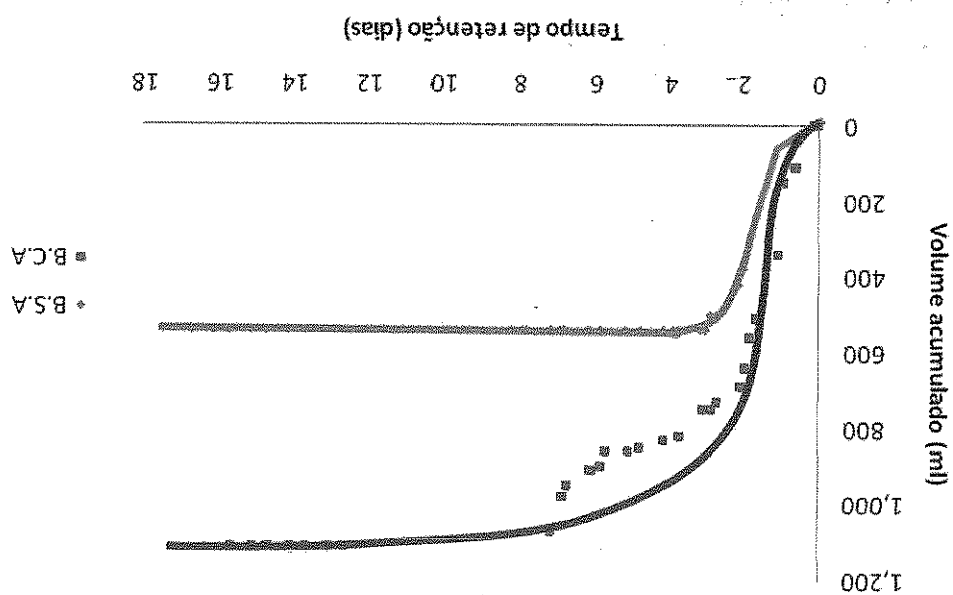
por agitação manual intermitente, que pode ser traduzido pela fórmula:

percentagem de volume de biogás gerado por agitação acima do volume de gás gerado ensaio laboratorial realizado, a produtividade é aquil representado como sendo a

A Figura 4.2 ilustra a contribuição da agitação para uma maior geração de biogás no

manual intermitente (B.S.A).

Figura 4.1 Taxa de geração de biogás com agitação magnética (B.C.A) e com agitação

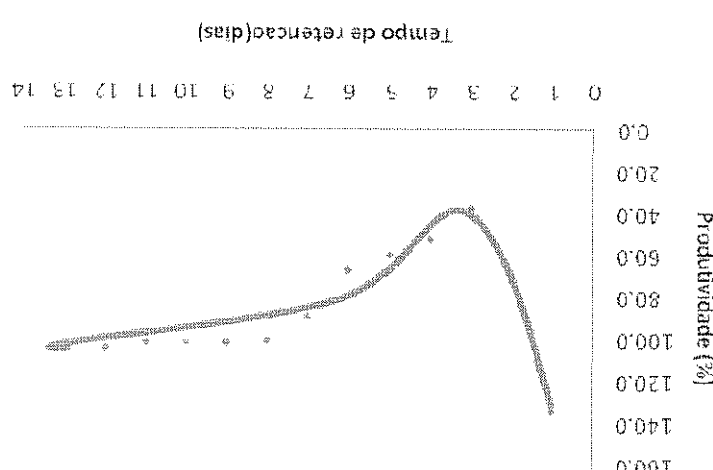


O segundo troço da figura 4.2 (do 3º dia adiante) representa a quantidade de biogás que era continuamente gerada. O incremento da produtividade neste troço não deve ser interpretado como um incremento na taxa de geragão de biogás por agitágao continua, mas sim, representa o volume de biogás que continuamente era gerada relativamente à produção de biogás que parou no biodigestor de agitágao manual intermitente, pois o volume de biogás gerado por agitágao continua decresceu pelo esgotamento de matéria orgânica no biodigestor.

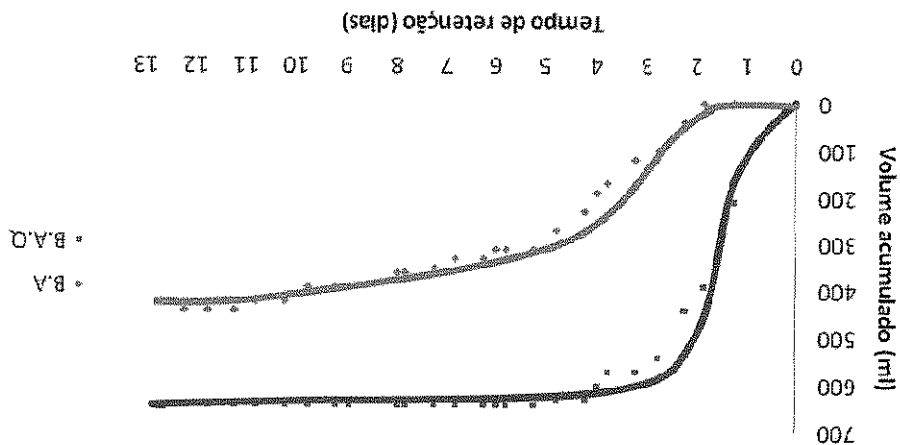
A produtividade baixou na medida em que a matéria orgânica era convertida, isto porque o esgotamento da matéria mais acinzentada em menor intervalo de tempo quando se promovia a agitágao continua comparada a situação em que a agitágao era manual intermitente.

No início o volume de biogás gerado por agitágao continua era superior ao processo de geragão de biogás por agitágao manual intermitente. No decorso da experiência cresceu a produtividade de biogás gerada com agitágao manual intermitente, e decresceu a quantidade gerada por agitágao continua, contribuindo para o decrescimo da produtividade. Processo representado no primeiro troço da figura 4.2.

Figura 4.2 Comparação entre a geragão de gás com agitágao e sem agitágao em termos percentuais de volume de gás gerado.



36°C e a temperatura ambiente (B.A.).
Figura 4.3 taxa de geração de biogás com aquecimento (B.A.Q) na faixa mesofílica 34-



substrato.

A elevação da temperatura favorece o crescimento das bactérias e a solubilidade do

4.2. CONTRIBUIÇÃO DA TEMPERATURA

biodigestor.

é que se garanta uma boa distribuição de temperatura e da matéria orgânica no círculo intérvalos de magnitude para os quais se deve proceder a agitação. O fundamental na geração de biogás, seja ela mecânica ou por borbulhamento de gás, contudo não se joga c. 1994 e McKinley, Ross e. 1962) citam a agitação como fator operatório importante. Vários autores, dos quais se podem tomar como exemplo (Asenjo, Juan A. and Merchuck,

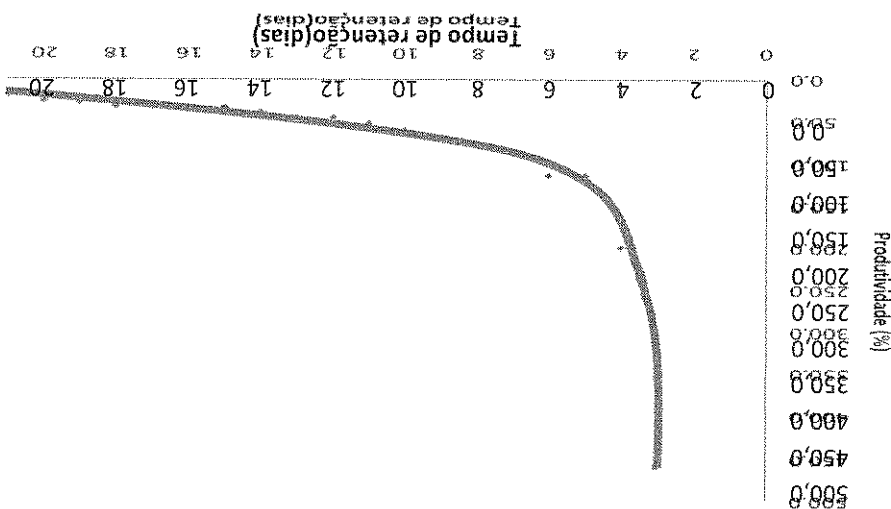
de pH na ordem 5.9 era ainda favorável para o desenvolvimento das bactérias.

quando da inibição era de 83% ST (quantidade significativa por ser degradada), e o valor ácidos volátiles. Pois a concentração de sólidos volátiles, material por ser degradado de matéria orgânica, é não pela escassez da matéria orgânica, e nem pela acumulação de parou ao tecido dia, provavelmente, pela inibição das bactérias por falta de distribuição de

Pela fração agitação a geração de biogás no biodigestor de agitação manual intermitente

termos percentuais de volume de gás gerado.

Figura 4.4 Comparação entre a geragão de gás com aquecimento e sem aquecimento em



F - volume de biogás gerado sem aquecimento.

Onde: Q - volume de biogás gerado pelo aquecimento.

$$\% = \frac{Q - F}{F} \times 100\%$$

(4.2)

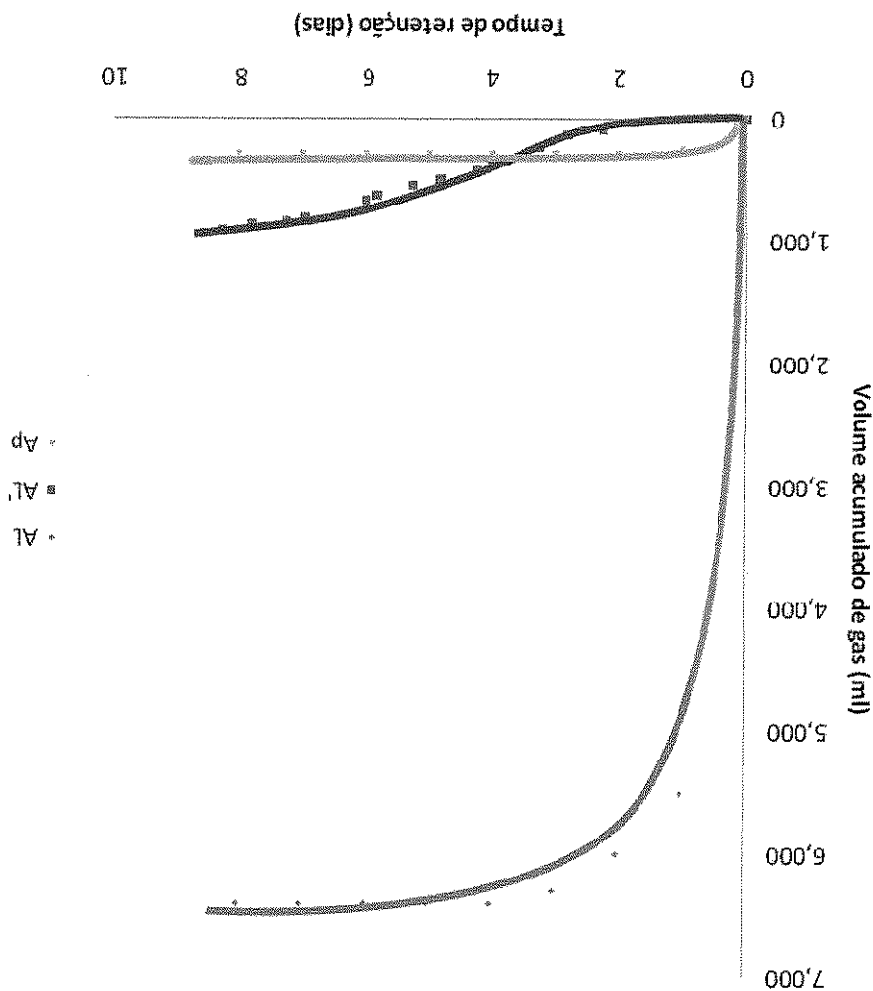
A Figura 4.4 ilustra a contribuição do aquecimento para uma maior produção de biogás no ensaio laboratorial realizado, a produtividade é aqui representada como sendo a percentagem de volume de biogás gerado por aquecimento, acima do volume de biogás produzido sem aquecimento. Que pode ser traduzido pela fórmula:

Da Figura 4.3, se observa uma maior geragão de volume de biogás de cerca de 0.009 m^3/kg_1 para o biodigestor sujeito ao aquecimento quando comparado com o biodigestor mantido a temperatura ambiente que foi de 0.006 m^3/kg_1 . Não se observa uma maior processo de geragão de gás com uma taxa de 200 ml/dia.

Da Figura 4.3, se observa uma maior geragão de gás com uma taxa de 200 ml/dia.

Da Figura 4.5 observa-se um rápido arranque para a geração de biogás para as amostras sujeitas ao aquecimento, embora deferindo acenitadamente no volume de biogás gerado; na ordem de 23 vezes maior ser o volume de gás gerado pela amostra de cama de frangos (AL) cujo volume foi cerca de $0.09 \text{ m}^3 \cdot \text{kg}^{-1}$ em comparação com amostra de frangos (AL) cujo volume foi cerca de $0.004 \text{ m}^3 \cdot \text{kg}^{-1}$.

Figura 4.5 Biodegradação de cama de frangos (AL) e desejtos de pederis (AP) na faixa (termofílica 57 – 59 °C), com a exceção de AL que foi na faixa mesofílica (25°C).



Observando a figura 4.4, verifica-se uma produtividade acima de 100% até ao 5º dia. O comportamento do gráfico da figura 4.4, é decrescente pois a quantidade de gás gerado no biodegradador sujeito ao aquecimento vai decrescendo contrariamente ao biodegradador mantido a temperatura ambiente, que no decorrer do tempo vai crescendo, contribuindo para redução da diferença percentual de volume de biogás gerado.

Cargas bastantes diluídas bem como bem concentradas são indispensáveis para o processo, a razão de diluição, isto é, a quantidade de água a doses de extremamente importante na natureza dos excrementos, uma vez que o material da cama de frangos reduz o potencial dispersante dos resultados estaria associada a concentração da carga do biodigestor e a

4.3. CONTRIBUIÇÃO DA CONCENTRAÇÃO

Biduiza que ate ao 5º dia esteve próximo a 4000 ml.
A dispersão de resultados estaria associada a concentração da carga do biodigestor e a natureza dos excrementos, uma vez que o material da cama de frangos reduz o potencial da geração de biogás.

Biduiza que ate ao 5º dia a gerção de biogás parou com um volume acumulado de cerca de 600 ml, que é extremamente baixo relativamente ao alcançado ao trabalho realizado por que ate ao 5º dia a gerção de biogás igual a 70g de amosta de cama e 718 ml de água trabalho; com a carga do biodigestor igual a 70g de amosta de cama e 718 ml de água volume cumulativo de 4000 ml no 13º dia. O contrário verificou-se na experiência desse excrementos e 570 ml de água num intervalo de temperatura entre 34 - 37°C, com o experimento com excrementos de aves com a carga do biodigestor igual a 64,9 g de aves com o aumento da temperatura, e a elevação da velocidade da reacção num ambiente com excrementos de aves com a carga do biodigestor igual a 64,9 g de aves com o aumento da temperatura, e a elevação da velocidade da reacção num ambiente com excrementos de aves com a carga do biodigestor igual a 64,9 g de

Biduiza (1992) cita ter verificado um aumento da degreadabilidade dos excrementos de gases de cerca de 5500 ml, o mesmo volume foi gerado na faixa termofílica em um dia, g), a biodigestão na faixa mesofílica 34 - 36 °C gerou em 4 dias um volume acumulado de partir da cama de frangos a temperatura ambiente para cargas idênticas de substrato (70 com aquecimento na faixa termofílica (AL) e ao comportamento de gerção de biogás a biodigestor. Este pode ser verificado analisando o comportamento do gráfico da gerção gerado; contribui também para a redução do tempo de retengão da matéria no gerador; contribui para além de ter contribuído para maior volume de biogás

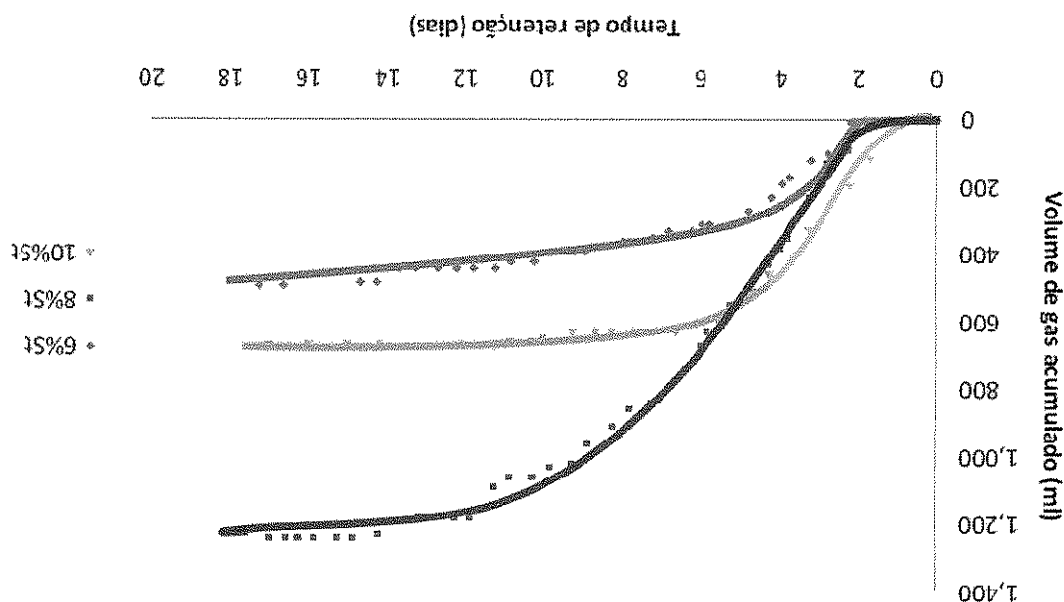
70 g.

O aumento de temperatura para além de ter contribuído para maior volume de biogás apresentou uma relação de $C/N = 19$ e a amostra de detritos de pôedeiras uma relação $C/N = 14$, pois a carga de sulfatação para ambos biodigestores foi a mesma, de cerca de 14,2 g, o que diz respeito a disponibilidade de carbono e nitrogênio. A cama de frango substrato, no que diz respeito a disponibilidade de carbono e nitrogênio. A cama de frango

A figura 4.7 representa o gráfico da experiência levada a cabo por uma equipa tailandesa com diferentes razões de diluição para extremos de aves, nela verifica - se o

alimentação.

Figura 4.6 Taxa de gerágão de biogás a diferentes concentrações da carga da alimentação.



Outro facto constatado é a desvantagem de poder ocorrer a inibição das bactérias pela acumulação de ácidos ou de amônia pela elevada concentração da carga. Observando o gráfico (figura 4.6), a produção de gás cessa em primeiro lugar no biodigestor de concentração de 10% de sólidos totais com um volume total acumulado de $0.01 \text{ m}^3 \cdot \text{kg}^{-1}$ e em seguida tende a cessar no biodigestor de 8% de sólidos totais, e por último no biodigestor de 6% de sólidos totais cujo volume acumulado foi de $0.006 \text{ m}^3 \cdot \text{kg}^{-1}$.

Da figura 4.6 comprova-se, que a concentração de 8% de sólidos totais é a ideal também para a fermentação da cama de frangos, embora, se tenha produzido maior volume de biogás no biodigestor de carga com concentração de 10% de sólidos até ao 5º dia, este valor foi logo depois superado pelo valor da gerágão de biogás no biodigestor de concentração de 8% de sólidos totais que gerou $0.02 \text{ m}^3 \cdot \text{kg}^{-1}$.

fermentação, valor óptimo apresentado por vários autores é a razão de diluição correspondente a 8% dos sólidos totais.

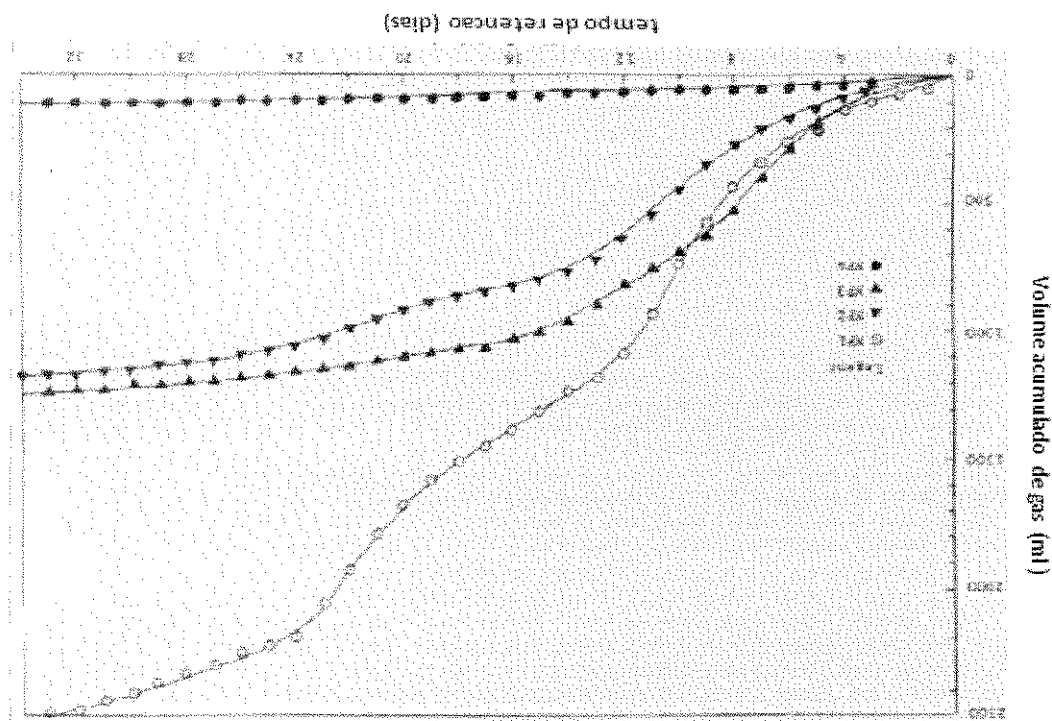
Observado a figura 4.8, a gerágao de biogás para o biodigestor que foi inoculado com 30% de inóculo foi cerca de cinco vezes superior a gerágao de gás no biodigestor sem inóculo.

A introdução dumha flora de bactérias já desenvolvidas irá contribuir para um rápido aranque do processo de gerágao de biogás, pois irá compensar a fase de retarde da produçao de biogás, e não só, irá contribuir também, de forma significativa para o volume de biogás gerado.

4.4. CONTRIBUIÇÃO DA INOCULAGAO

Fonte: Traduzido de Loehrer (1977).

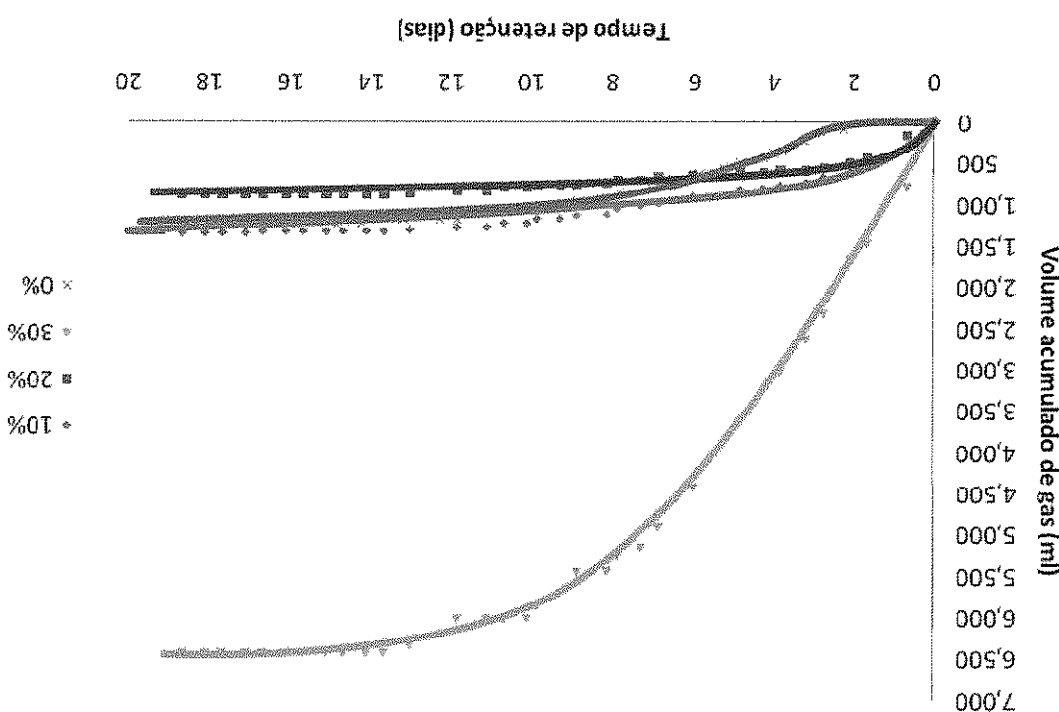
Figura 4.7 Produção de biogás em desperdiços não hidrolisados de aves



constatado na experiência do presente trabalho no tocante a uma maior produçao de gás a uma razão optima de diluição, e a probabilidade de ocorrer a inhibição por elevação da concentração da carga do biodigestor.

Biogás poder sofrer um abrandamento e cessar, devindo a insuficiência na disponibilidade de nutrientes face a uma elevada concentração de bactérias acrescida a já existente no biogás (1992) no seu trabalho faz menção ao facto adverso de o processo de gerágio de A. impraticável da inoculação para o arranque é aquela evidente, a taxa de arranque é mais baixa para biodigestor que não foi inoculado (cerca de 3 dias de retraso), e mais alta para a maior percentagem de inoculo.

Figura 4.8 Taxa de gerágio de biogás a diferentes percentagens de inoculo.



a adição de inoculo.

Facto curioso nesta experiência foi de que o volume de biogás gerado no biodigestor inoculado por 10% ter sido equivalente ao volume de biogás gerado com 20% de inoculo uma vez que se esperava que houvesse um incremento de volume de biogás proporcional a adição de inoculo.

e no biodigestor inoculado por 10%, cujos volumes acumulados formam $0.09 \text{ m}^3 \cdot \text{kg}^{-1}$, $0.02 \text{ m}^3 \cdot \text{kg}^{-1}$ e $0.02 \text{ m}^3 \cdot \text{kg}^{-1}$.

Zeeuw e Lettiga, Lucas Jr. et al citados por Santos (2007), demonstraram o efeito da antecipação na produção de biogás quando utilizaram cama de frangos. Concluíram também que o uso de inóculo não somente antecipa o picco da produção de gás como também pode aumentar o potencial efectivo da biomassa. Em concordância com Biquiaza (1992), foram de opinião que uma baixa eficiência do inóculo pode influenciar negativamente a produção de biogás, uma vez que o inóculo ocupa um volume que poderia ser preenchido pelo substrato a ser tratado, mas no entanto este efeito presume-se que seja pronunciado a elevadas percentagens de inóculo.

STEL citado por Lucas Júnior (1996), obteve resultados superiores aos deste trabalho; STEL citado por Lucas Júnior (1996), obteve resultados superiores aos deste trabalho; STEL em seu estudo STEL observou percentagens de redução de SV iguais a 53,45% sem inóculo adicionado, 44,64% e 42,00% para as condições de 10 e 15% respetivamente. Neste trabalho foi observada uma redução de SV igual a 65,7% com 30% de inóculo adicionado, o que pressupõe que a dada percentagem de inóculo o efeito desse é de facto pronunciado.

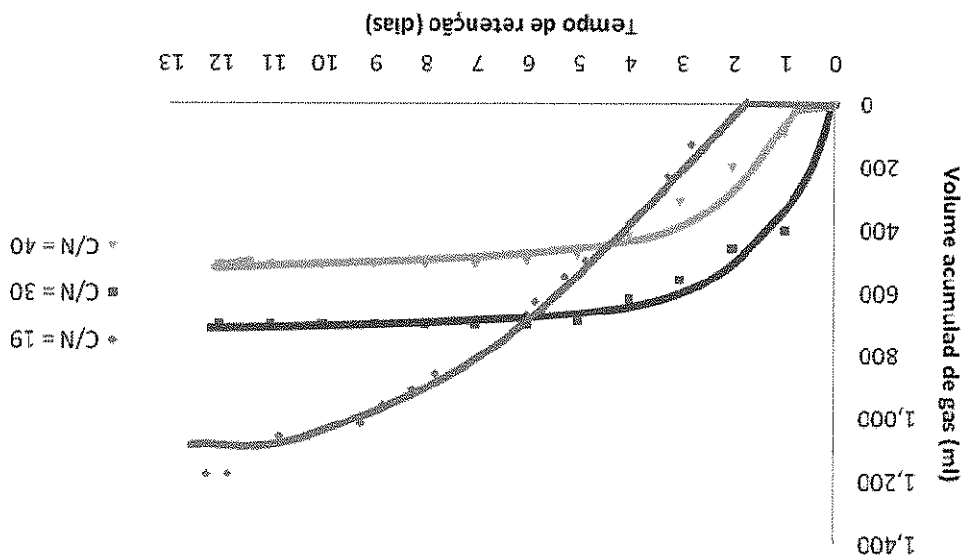
A diferença das quantidades de biogás gerado por 50% e 20% de inóculo no trabalho realizado por Biquiaza (1992) é menos acenutada que a diferença obtida na experiência do informado por Biquiaza (1992) e menor que a diferença obtida na experiência de Zeeuw e Lettiga, Lucas Jr. et al citados por Santos (2007), demonstraram o efeito da antecipação de inóculo ideal a adicionar é caso ainda de estudo, pois carece-se de informação ao literatura de qual a quantidade ideal de inóculo a adicionar, os dados fornecidos na literatura são empíricos.

A maior produção de biogás não ocorreu a razão C/N = 30 por esta razão a quantidade de dejetos da carga igual a 47,96 g ser superior a quantidade de dejetos igual a 36,6 g da razão igual a C/N = 40. Vê-se que para a razão C/N = 19 a produção de bactérias anaeróbicas na faixa mesofílica bem como na faixa termofílica.

As bactérias celulósicas são altamente resistentes a degradação pelas estabelecidas. Matéria orgânica biodegradável as condições operatórias têm dado pelo esgotamento da matéria orgânica biodegradável a arranque foi mais tardado para as razões de 30 e de 40, que provavelmente se deve ao gerágão de gases cessou ao 6º dia para as razões de 30 e de 40, que provavelmente se deu entre o 6º e o 13º dia.

Na figura 4.9 são apresentados os gráficos que traduzem a gerágão de biogás a diferentes razões de carbono e nitrogênio C/N. A maior gerágão foi conseguida a uma razão C/N = 19 com o volume acumulado de cerca de 0,02 m³.kg⁻¹, a esta razão o arranque foi mais demorado comparativamente às razões de 30 e 40. A razão óptima pertence ao intervalo compreendido entre 20:1 – 30:1, não obstante ter-se conseguido a maior produção a razão de 30 até o 6º dia.

Figura 4.9 Taxa de gerágão de gás a diferentes razões C/N



A disposição de nutrientes nas quantidades ótimas para as bactérias na biodegradação da matéria orgânica é de extrema importância, pois esta vai determinar a composição do biogás bem como a quantidade de biogás gerada.

4.5. CONTRIBUIÇÃO DA RELAÇÃO RAZÃO C/N

Aires (2009), estudando a biodegradação anaeróbica da camada de frangos de corde com ou sem separação das fracções sólida e líquida chegou a conclusão que a quantidade (em reatores. Os volumes de gás gerados por elas foram: 700 ml (B3), 450 ml (B2) e 400 ml do biodegester. Fato que pode ser verificado quando comparados os resultados dos três massa sólida efluente, pois boa parte dos nutrientes encontraram-se dissolvidos na solução quanto menor for a eficiência na conversão, menor será a concentração dos nutrientes na processo em converter a matéria orgânica em compostos mais simples e solúveis, A redução da concentração dos nutrientes existe relação inversa com a eficiência dos reatores.

	N	P	K	Ca	Mg	Reactor (%)	(mg/g amostra)	(mg/g amostra)	(mg/l)	Antes	Depois	Antes	Depois	Antes	Depois	Antes	Depois	B10
B3	2.07	0.97	5.2	4.9	18	6	19.16	10.19	19.18	10.19	15.13	12.15	12.18	17.61	15.13	19.18	19.18	15.2
B1	2.2	0.98	3.7	3.8	13	8	12.15	12.18	17.61	15.13	19.16	10.19	19.18	10.19	15.2	19.18	19.18	15.2

Tabela 4.2 Teores de N, P, K, Ca e Mg na amostra antes e depois da degradação.

Da análise dos dados da Tabela 4.2 verifica-se um empobrecimento da matéria em termos da percentagem dos nutrientes caracterizados.

4.6. PODER FERTILIZANTE

O arranque da geradão de biogás a razão de 30 deu-se ao incremento da temperatura quando comparada com a geradão a razão igual a C/N = 19, e deu-se a concentração dos sólidos volátéis quando comparada com a de 40.

Biogás foi produzido a proxima de biogás a razão de C/N = 40, contudo a massa da amostra de C/N = 19 foi aproximadamente três vezes maior que a massa da razão C/N = 40.

Em geral, quanto ao potencial de biogás são observadas na literatura enormes variações nas produtividades de biogás oriundas de resíduos de aves, pois em muitas situações faltam melhor caracterização dos substratos utilizados para determinar o potencial produtivo das camas estudadas (esterco ou cama, tipo de material utilizado como cama, uso e quantidades de inoculo utilizado, bem como a composição do gás gerado). Fato é que concorre para uma disparidade dos resultados da literatura com os resultados desse trabalho.

Embora a concentração dos nutrientes tenham reduzido na massa efluente, este efluente provavelmente poderá apresentar-se com maior valor fertilizante visto matéria orgânica solúvel na qual os nutrientes possam estar na forma assimilável pelas plantas. Complexa insolúvel com a biodegradação, tende a converter-se em matéria simples e carbono, fica incompleta, o nitrogênio em excesso não é degradado e o azoto liberto, tanto que apresentou um relação C/N baixa, a degradação que cessa quando se esgota tanto a perda de nitrogênio, visto que a cama de frango é bastante rica em nitrogênio, se.

Quanto a perda de nitrogênio, visto que a cama de frango é bastante rica em nitrogênio, tanto que apresentou um a relação C/N baixa, a degradação que cessa quando se esgota o carbono, fica incompleta, o nitrogênio em excesso não é degradado e o azoto liberto,

de acordo com os resultados obtidos neste trabalho.

massa) dos nutrientes no efluente, diminui com a biodegradação anaeróbica fato que vai

- gerado diariamente.
- A biodegradação da cama de frangos foi descrita por modelos polinomiais de 5, 4 e 3º, facto que elucida a grande variabilidade do volume de biogás dos desecotos que entram na composição da cama, visto que materiais celulosicos são pouco biodegradáveis.
 - A relação C/N determinante na biodegradação é dependente da natureza excedendo os 50%.
 - A percentagem volumétrica de inoculo para este resíduo que possa contribuir de maneira significativa para obtenção de bons picos de produção de biogás e curtos tempos de retenção será provavelmente acima dos 20% e não excede os 50%.
 - A concentração de solidos totais óptima para a geração de biogás pela biodegradação deste resíduo foi correspondente a 8%St.
 - A faixa termofílica (57-59 °C) de temperaturas mostrou-se ideal para a biodegradação da cama de frangos contribuindo de maneira significativa para a redução do tempo de retenção do substrato no biodigestor.
 - Embora a serradura seja pouco biodegradável nas condições estudadas, o resíduo cama de frangos pode ser usado como precursor para a geração de biogás.
- Após a realização dos ensaios e análise dos resultados obtidos chegou-se as seguintes conclusões:

5.1. CONCLUSÕES

5. CONSIDERAÇÕES FINAIS

- Se faga o estudo da influencia da natureza e da idade do inoculo para a geragão de biogás.
- Se faga o estudo da influencia dos parametros operacionais para a composição do gás, do líquido sobrenadante e da lama, resultantes do processo da biodegradação.
- Se faga o estudo da influencia dos parâmetros operacionais para a mais completa do processo (balanços massicos e energéticos).
- Se faga o estudo da biodegradação desse resíduo com uma caracterização mais completa da biodegradação, para a optimização do processo de geragão influenciam a biodegradação, para a optimização do processo de geragão de biogás na base da cama de frangos.

Para continuidade desse estudo recomenda-se que:

5.2. RECOMENDAÇÕES

- Aires, Afiron Magno (2009) – Biodegustaço anaeróbica da cama de Frangos de corde como u sem separação das fracções sólida e líquida, dissestação apresentada a Universidade Estadual Paulista, Faculdade de Ciências Agrárias e Veterinárias, Jaconicaba.
- Almeida, Pedro Dias (1984) – Algumas considerações sobre a aplicação prática de instalações de biogás, 1as Jornadas científicas dos Países de Língua Oficial Portugal Lisboa.
- Asenjo, Juan A. & Merckuck, José C. (1994) – Bioreactor System Design, W. Courtney Mcgregor, Califórnia.
- Amarilis De Varennes, (1996). Produtividade dos solos e Ambiente.
- Biduiza, L. D., (1992). A conversão metanica-análise critico comparativa dos processos e modelos de conversão de resíduos orgânicos e tratamento de águas residuais em Maputo,
- Bunagay, Henry. R. (1980). Energy, The Biomass Options, A Wiley – Interscience Publication, New York.
- Cartondo, M. J. T. (1984). Fermentação anaeróbica húmida e seca na produção de energia a partir da biomassa, 1as Jornadas científicas dos Países de Língua Oficial Portugal, Lisboa.
- Cattondo, M. J. T. (1984). Fermentação anaeróbica húmida e seca na produção de energia a partir da biomassa, 1as Jornadas científicas dos Países de Língua Oficial Portugal, Lisboa.
- Corbitt, Robert A. (1990), Standard Hand Book of Environmental Engineering, McGraw – Hill, United States of America.
- Hill, D.T. (1983). Design parameters and operating characteristics of animal waste Anaerobic Digestion Systems – Swine and Poultry. Agricultural wastes, V.5.
- Grook, Michael, (1979) – A Chinese Biogas Manual, Arjan Van Boren, London.
- Loehr, Raymond C. (1977). Food, fertilizer and agriculture residues-proceedings of the 1977 Cornell agricultural waste management conference. Ann Arbor science, USA.

6. BIBLIOGRAFIA

Santos et al., (2007). Avaliação do desempenho de um aquecedor para aves adaptado para utilizar biogás como combustível. Engenharia Agrícola, Jaboticaba, V.27, n.3.

National Academy of Science (1975).

Mahadevawamy, Ml. Venkataraman, L.V, (1986). Bionconversion of poultry droppings for biogas and agro production. Agricultural wastes, V.8.

McKinney, Ross e. (1962). Microbiology for Sanitary Engineers, McGraw - Hill Book Company, United States of America.

Marques, et al. (1984). Estudo da produção de biogás a partir de resíduos agropecuários, 1^{as} Jornadas Científicas dos Países de Língua Oficial Portuguesa, Lisboa.

pdf (12 de Novembro de 2010).

Lucas Junior et al. (2000). Aproveitamento de resíduos da indústria avícola para a produção de biogás, Simpósio sobre resíduos da produção avícola.

http://homologa.ambiente.sp.gov.br/biogas/docs/artigos_dissertacoes/lucas_junior_santos.pdf

Lucas Jr et al. (1996). Uso da cama de frangos com maravilha em biodigestores abastecidos com esterme de frangos de corde com cama de maravilha.

bateda, in: congresso brasileiro de engenharia agrícola e II congresso latino-americano de engenharia agrícola.

Lucas Jr. et al. (1993). Avaliação do uso de inoculo no desempenho de biodigestores

Anexos

DETERMINAÇÃO DA QUANTIDADE DE ÁGUA A ADICIONAR PARA UMA DADA CONCENTRAÇÃO DE SÓLIDOS TOTAIS

Determina-se em primeiro, que quantidade de matéria pretend-se degredar;

Determina-se em segundo a percentagem de sólidos totais contidos na amostra;

Determina-se o volume da amostra a concentrar de sólidos totais anteriormente determinada, pela seguinte fórmula:

$$(A1.1) \quad \text{onde: } v_a = \frac{p * \%ST}{m^a}$$

Onde: v_a - Volume da amostra

m^a - Massa da amostra

p - Densidade da amostra

%ST - Percentagem de sólidos totais na amostra

Sólidos que se pretendem diluir.

Determina-se o volume do líquido (mistura de água e amostra) a percentagem de

$$(A1.2) \quad \text{onde: } \alpha_a = \frac{p * \%ST}{m^a}$$

Onde: α_a - Volume do diluído

ELEMENTO	ESTERCO	SERRADURA	TOTAL	
Nitrogénio	A*0.0275	B*0.001	A*0.027 + B*0.001	
Carbono	A*0.40	B*0.511	A*0.40 + B*0.511	
				Total

Calculo das massas a dosear:

Cama de frango	2.07	40	19
Serradura crua	0.1	51.1	51
	N (%)	C (%)	Total

Uma vez conhecida a razão de C/N da cama colhida numa pedreira craigão do bairro laulané, que foi igual a 19 houve a necessidade de combinar a amostra com material com uma razão de C/N elevada, destas feita, foi colhida uma amostra de serradura crua com uma razão de C/N elevada, destas feita, foi colhida uma amostra de serradura crua com uma razão de C/N elevada, destas feita, foi colhida uma amostra de serradura crua e fina, e com base nas Tabelas A2.3; A2.4, presentes no anexo A2.

No presente trabalho foram preparadas duas cargas de alimento craigão do biodigestor, uma com uma razão de C/N = 30 e a outra com C/N = 40. Para tal foi preciso determinar a razão C/N da amostra uma vez conhecida a percentagem de carbono e nitrogênio que a amostra de frango continha.

DETERMINAÇÃO DA QUANTIDADES DE MATERIAIS A DOSEAR PARA UMA ALIMENTAÇÃO MISTA DO REACTOR PARA UMA RAZÃO (C/N) PREVIAMENTE ESTABELECIDA.

$$a_{ac} = a_a - a_a$$

(A1.3)

A quantidade de água para a diluição (v_{ac}) é dada pela diferença do volume do diluído e da amostra.

Segundo A, a massa de esterco a dosesar é B a massa de serradura a dosesar, a sua soma deve ser igual a 70g que é a massa equivalente a carga do biodigestor pretendida, portanto:

$$A + B = 70 \quad (A1.4)$$

Isolando B da equação (1.0), temos:

$$B = 70 - A \quad (A1.5)$$

Fazendo a razão total da massa total de carbono e nitrogênio igual a a razão predefinida teremos:

$$\frac{0.40 * A + 0.511 * B}{0.0207 * A + 0.001 * B} = C/N$$

Onde: C/N – é a razão pré-definida que se pretende alcançar com a mistura de serradura crua e amosta de cama de frango.

As massas de serradura assim como de esterco formam determinadas resolvendo o seguinte sistema:

$$\begin{cases} 0.40 * A + 0.511 * B & C \\ 0.0207 * A + 0.001 * B & N \\ A + B = 70 & \end{cases}$$

Para a razão de C/N = 30, a massa de A = 47.96 g e B = 22.04 g, para a razão de C/N = 40, a massa de A = 36.6 g e de B = 33.64 g

Pese cerca de 20g de amostra seca, transfira para um copo e adicione 50 ml de água destilada. Agite mecanicamente durante duas horas.

Procedimento

O pH é comumente determinado potenciométricamente no líquido sobrenadante que se encontra em equilíbrio com a suspensão com a amostra do solo. A razão de mistura de amostra do solo e água é 1:5/2.

DETERMINAÇÃO DO pH

V_a - Volume da amostra

V_a - Volume de água

ρ_a - Densidade de água

Onde: ρ - Densidade da amostra

$$\rho = \frac{\rho_a}{V_a}$$

(A1.7)

Para determinar a densidade da amostra, pesa-se a amostra, e de seguida a amostra é introduzida num recipiente graduado (exemplo: uma proveta graduada) contendo um líquido deslocado pela introdução da amostra e com base na fórmula (4.0) do líquido deslocado pela introdução da amostra e com base na fórmula (4.0) determina-se a densidade.

DETERMINAÇÃO DA DENSIDADE DA AMOSTRA

DETERMINAGÃO DE CALCIO E MAGNE西O.

Metais em solu o podem ser determinados por espetrofotometria de absor o atomica, o m todo   simples, r pido e aplicável para um vasto n mero de metais. No entanto   necess rio concentrar a solu o ou usar um solvente para obter m xima sensibilidade. Porque a chama oxida os metais para estados de val『ncia elevarados, somente a concentra o total do metal poder  ser medida.

A espetrofotometria de absor o atomica assemeila-se a espetrofotometria de chamas no que concerne a aspira o da amostra a uma chama e a sua atomiza o. Na interfer』cia a aspira o da amostra a uma chama e a sua atomiza o. Na interfer』cia na determina o de calcio e magnesio poder  ser eliminada pela adiga o de lanthanio.

Equipaamentos

Especrofotometro de absor o at mico.

Bico de g s

Auto clave

Funes de separa o - 250m, de prefer『ncia com teflon, para extra o com solventes orgânicos

Centrifugadora (opcional)

Objetos de vidro - todos os objetos de vidro devem ser lavados por 1 + 1 HNO₃, e de seguida por  gua destilada, para evitar erros de contamina o. Frascos de vidro - todos os frascos devem ser lavados por 1 + 1 HNO₃, e

polietileno são recomendados para o armazenamento pela fraca predominância de metais em sua constituição e pela não polaridade de suas superfícies.

Reagentes

Ácido nítrico concentrado

Água destilada.

Stock metals solution – stock lanthanio reagent

Solução padrão de metal – prepare uma série de soluções de 5 a 1000 µg/l pela diluição apropriada da solução do stock metal

Combustível e oxidante

Reagentes específicos para metais específicos.

Procedimentos

Dissolva 58,65 g de óxido de lantânio, La₂LO₃, em 250 ml de HCl concentrado. Dilua com água destilada até perfazer um volume de 1000 ml, para obter uma concentração de 5 g La/100ml. Adicione lentamente ácido ate o material estar dissolvido. Adicione de 5 g La/100ml. Adicione lentamente ácido ate o material estar dissolvido. Adicione obter uma solução final de trabalho de cerca de 1 g La/100 ml volume.

Acidule todas amostras com 1 ml de ácido nítrico concentrado por 100 ml de amostra e auto clave a 121 °C por uma hora para solubilizar a matéria particulada. Reajuste o volume se necessário.

Pela variedades de espetrofotômetros (figura A.1, espetrofotômetro usado no presente trabalho), será difícil formular um procedimento com os aparelhos, portanto dever se seguir as recomendações do fabricante.

Prepare uma amostra em branco e uma de magnésio padrão, de acordo com a seguinte escala:

clorídrico.

Depois da digestão, o amônio é destilado na presença de NaOH. O gás amoniacal (NH_3) daju liberado e recolhido numa solução de ácido borônico e titulado com ácido

de selênio e sulfato de cobre como catalisadores.

Na digestão usa-se ácido sulfúrico concentrado com sulfato de potássio na presença

amônio (NH_4^+).

O nitrogênio total pode ser determinado segundo o método de KJELDAHL, que implica uma digestão da amostra provocando a transformação do nitrogênio orgânico em

Introdução

DETERMINAÇÃO DO N-TOTAL NO SOLO (SEGUNDO KJELDAHL)

Figura A.1. Espectrofotômetro de absorção atômica AA - 6800 Shimadzu



magneziu na amostra consultando a curva de calibragão.

a curva de calibragão das soluções padrão de magnesio. Determine a concentração de standards e amostras, um número suficiente para garantir uma boa leitura. Construa a mais diluída. Faça a medida a 589 nm. Repita a operação com ambas, soluções a mais diluída. Inicie com o padrão mais elevado de calibragão e trabalhe ate 0-1, 0-10, ou 0-100 mg/l.

Reagentes

- Ácido sulfúrico concentrado
- Catalisador, pesa 1.5 g de selenio e 10 g de sulfato de cobre ($CuSO_4 \cdot 5H_2O$) e moa no almofariz, junta 100 g de sulfato de sódio e misture bem
- Hidróxido de sódio 25 %; dissolva 250 g de NaOH em aproximadamente 600 ml de água destilada, deixe arrefecer. Prefazer o volume ate 1000 ml, dissolva e prefaga o volume com água destilada ate a marca
- Indicador mísito: pesa 0.15 g de bromocresol verde e 0.10 g de vermelho de metil e dissolva em 100 ml álcool etílico. Guardar num frasco castanho.
- Ácido bórico 1 %, pesa 10 g de ácido bórico para um balão volumétrico de 1000 ml, dissolva e prefaga o volume com água destilada ate a marca
- Indicador mísito: pesa 0.15 g de bromocresol verde e 0.10 g de vermelho de metil e dissolva em 100 ml álcool etílico. Guardar num frasco castanho.
- Ácido clorídrico 0.01 N; pipete 9.8 ml HCl concentrado (32 %, densidade 1.160 g/ml) para um balão de 1000 ml com aproximadamente 500 ml água destilada. Deixe arrefecer e prefaga ate a marca. A concentração da solução é de 0.100 mol/l (0.1N). De seguida pipete 50 ml dessa solução para um balão de 500 ml e prefaga com água destilada ate a marca. A concentração da solução é 0.01 N.
- Alternativamente, esta solução pode ser preparada com uso dum alicate (Merck, titrissol no. 9974).
- Aparelhagem de digestão "micro-kjeldahl" com balões de 100 ml, equipada com extrator de vapores. Marca: Gerhardt digestion unit e "Turbo sog acid scrubber".
- Destilador a vapor (figura 0.0).
- Bureta, erlenmeyer 250 ml, pipetas etc.

Equipamentos e materiais:

DIGESTÃO DA AMOSTRA

Princípio do método

A amostra é tratada com uma mistura de ácido sulfúrico, selenio e ácido salicílico. O ácido salicílico forma um composto com os nitratos presentes para evitar perdas de hidrogênio, e nesta fase a maior parte da matéria orgânica é oxidada. Após a decomposição do excesso de peróxido de hidrogênio, a digestão é completa pelo ácido sulfúrico a elevadas temperaturas com selenio como catalisador.

O nitrogênio é convertido em amônia (como sulfato) e o fosfato é convertido em fosfato. Nesta digestão também podem ser determinados K, Ca, Mg, Zn e Mn.

Bloco de digestão com tubos de 75 ml. O bloco deverá ser introduzido num extractor.

Equipamentos

- Peso 3,5 g de pó de selenio num vaso de reação
- Mistura de ácido sulfúrico e selenio, solugão stock.

Reagentes

Figura A.2. Destilador a vapor Buchi-modelo 321/430



Anexo 1

UEM | 10

Cuidadosamente e devagar introduza 1 l de ácido sulfúrico concentrado H₂SO₄

Dissolva o selenio aquecendo o beacker no intervalo de 4 a 5 horas a 300 °C. A

cor preta original torna se num amarelo claro passando primeiro por um azul-

escuro.

Deixe a solução fresca/morna.

Mistura da digestão Pese 10.08 g de ácido salicílico

Adicione o ácido salicílico a 150 ml de ácido sulfúrico e a mistura de selenio.

Esta solução é estável somente por 48 horas.

150 ml da mistura de digestão é suficiente para a digestão de 50 amostras.

• Peroxido de hidrogênio a 30 %.

Procedimento da digestão Segue a amostra da planta durante toda a noite a 70 °C.

No dia seguinte arrefega a amostra num excicador por duas horas

Pese 0.300 g de amostra seca e introduza num tubo de digestão de 75 ml, inclua uma amostra paralelo e duas amostras em branco em cada série.

Adicione 2.5 ml da mistura de digestão com uma pipeta automática.

Agite até toda a amostra estiver misturada.

Deixe por duas horas, ou por toda a noite de preferência

introduza os tubos de digestão num bloco de digestão Deixe por duas horas a 100 °C

Remova os tubos para que arrefeçam.

Devegar e cuidadosamente adicione 1 ml de peróxido de hidrogênio a 30 %, a reacção é violenta.

Misture completamente o conteúdo dos tubos com cuidado.

Após a reacção tiver cessado repita os dois passos anteriores por duas vezes.

Retire o tubo de digestão do bloco de digestão e deixe arrefecer

Adicione cerca de 20 ml de água destilada e agite. Refrigere o volume para 75,0 ml com água destilada.

Nota - após a mistura da amostra com a mistura de digestão, duas horas são necessárias para a formação dos compostos do ácido nítrico - salicílico.

Procedimentos para a determinação do N.

Depois da destilação titule a solução destilada (cor verde) com solução de ácido clorídrico 0,01 N, até a cor mudar para vermelho.

Calcule:

$$N (\%) = \frac{(A_1 - B_1) * N (HCl) * \frac{peso\ M\ (N)}{P*10} * f}{A_1}$$
 (A1.8)

Onde:

A₁ - ml gastos na titulação da amostra

B₁ - ml gastos na titulação da solução

N - normalidade da solução de HCl

Peso M (N) - peso molecular do nitrogênio (14 g/mol)

P - peso da amostra

f - fator da humidade = [H (%)] / 100

DETERMINAÇÃO DE CARBONO E MATERIA ORGÂNICA SEGUINDO WALKLEY E BLACK.

O método segundo Walkley and Black é baseado na oxidação da matéria orgânica (MO) com dicromato de potássio.

A reação, na presença de ácido sulfúrico, é a seguinte:



Depois da reação, o excesso de $\text{Cr}_2\text{O}_7^{2-}$ da quantidade adicionada no começo da determinação é determinado por titulação com sulfato de amônio-ferroso $\text{Fe}(\text{NH}_4)_2\text{SO}_4 \cdot 6\text{H}_2\text{O}$, 0.25 N.

Com conhecimento da concentração do dicromato de potássio no início, pode-se calcular a quantidade de carbono que reagiu com dicromático de potássio (a diferença).

Materiais necessários

- Bureta para a solução de dicromato de potássio de 1 N.
- Bureta semi-automática para a solução de sulfato de amônio-ferroso
- 1 Almofariz de ágata
- 1 Crivo de 0,5 mm de malha.
- Ácido sulfúrico (H_2SO_4) concentrado.
- Solução de dicromato de potássio, 1 N; dissolva 49,04 g de $\text{K}_2\text{Cr}_2\text{O}_7$ (seco a 105 °C, durante 6 horas) na água num balão volumétrico de um litro e encha até a marca.

Reagentes

- Solução de amônio-ferroso, 0,25 N; dissolve 98,04 g de $\text{Fe}(\text{NH}_4)_2\text{SO}_4 \cdot 6\text{H}_2\text{O}$ em água num balão volumétrico de 1000 ml adicione água até cerca de 700 ml e agite até o sal estar completamente dissolvido. Adicione 20 ml de ácido sulfúrico, deixe arrefecer e perfaga, ate a marca.
- Indicador de ferroina; 0,025 M em solução, Merck no. 9193.

Procedimento

Estime a percentagem de MO da sua amostra:

Pese uma quantidade entre 0,1 a 0,5 g das amostras de solo (dependendo do teor da MO) para balões de erlenmeyer de 250 ml.

Retire uma quantidade suficiente da sua amostra (seca ao ar) e coloque-a no almofariz. Moa a amostra e passe-a pelo crivo de 0,5 mm.

Assim quando	MO < 5 %	pese 0,5 g
	5 % < MO < 12%	pese 0,2 g
	MO > 12 %	pese 0,1 g

Adicione 10 ml de H_2SO_4 concentrado usando a proveta (com cuidado) agite durante 1 minuto.

Deixe em repouso por 30 minutos.

Prepare dois ensaios em branco da seguinte maneira: junte exatamente 5 ml de dicromato de potássio (1000ml) de H_2SO_4 concentrado. Trate os ensaios em branco como as amostras.

Deite 80 ml de água destilada nas amostras e ensaios em branco e adicione 2-4 gotas do indicador. Misture bem.

p - peso da amostra (g)

n - normalidade exata de sulfato de sulfato de amônio - ferroso.

B₂ - ml de sulfato de amônio-ferroso gastos na titulação do ensaio em branco.

A₂ - ml de sulfato de amônio-ferroso gastos na titulação da amostra.

Onde:

$$\text{Materia orgânica (\%)} = 0.6827 \times n \times (B_2 - A_2) \times (f/p)$$

$$\text{Carbono (\%)} = 0.396 \times n \times (B_2 - A_2) \times (f/p)$$

dicromato de potássio.

Onde: T - ml de sulfato de amônio-ferroso gastos na titulação de 5,00 ml de

$$A \text{ normalidade } t = \frac{5,00 \times 1,000}{T}$$

Calculos (segundo Walkley e black) - fonte INIA:

titule de novo.

Determine a normalidade exata da solução de sulfato de amônio-ferroso da solução manírica adicione ao ensaio em branco 5 ml de dicromato com a bureta e seguite o procedimento.

Determinação da normalidade exata de $\text{Fe}(\text{NH}_4)_2\text{SO}_4 \cdot 6\text{H}_2\text{O}$:

quantidade da amostra.

Continue com a titulação das amostras. Caso as amostras gastem menos que 5 ml de solução de sulfato de amônio-ferroso, repita o ensaio com uma menor quantidade.

Solução de sulfato de amônio-ferroso para a determinação da normalidade exata. Verifique se uma cor verde que no ponto de equivalência muda para titulação forma-se uma cor verde que no ponto de equivalência muda para vermelho-acastanhado. Anote o número de mililitros gasto na titulação, e guarde a solução de sulfato de amônio-ferroso para a determinação da normalidade exata.

$$f - \text{fator de humidade} = [H\%] + 100.$$

A tabela a seguir indica as classes de teores de matéria orgânica e seus componentes principais.

Fonte : "agricultural comprehendium" (Elsevier, ed).

Classe	matéria orgânica	C - orgânico	N - total	C/N	Total (%)	Total (%)	(%)	(p/p)
Tufa	> 10.0							
Muito alto	> 6.0	> 3.50	> 0.30	> 25				
Alto	4.3 - 6.0	2.51 - 3.50	0.23 - 0.30	16 - 25				
Médio	2.1 - 4.2	1.26 - 2.50	0.13 - 0.23	11-15				
Baixo	1.0 - 2.0	0.60 - 1.25	0.95 - 0.13	8 - 10				
Muito baixo	< 1.0	< 0.60	< 0.950	< 8				

N.B. As colunas desta tabela devem ser considerados independentemente. Não existe uma relação bem definida entre teores de matéria orgânica e seus componentes, e muito menos com a relação C/N.

No presente trabalho as massas tomadas estiveram comprendidas no intervalo de 0.02 - 0.05g, o critério usado foi de 0.355 mm de malha.

- Ácido sulfúrico 1 M: dilua 56 ml de H₂SO₄ ($\rho = 1.84 \text{ g/cm}^3$) em 500 ml de água destilada num balão volumétrico de 1000 ml. Misture, e deixe a mistura arrefecer, e perfaça o volume com água destilada.
- Molibdato de amônio: dissolva 40g de (NH₄)₆Mo₇O₂₄.4H₂O em balão de 1000 ml. Conserva a solução num recipiente de vidro pyrex.
- Tartrato amoniacal de potássio: dissolva 1.3715 g de K-Sb-tartrato em água destilada um balão volumétrico de 500 ml.
- Agente Anticoagulante: agente hidratador Aerosol 22.
- Mistura de reagente I: adicione sucessivamente com um cilindro graduado mistura tal adigão.

100 ml de 1.0 M H₂SO₄

misture tal adigão.

- Mistura de reagente II: adicione sucessivamente com um cilindro graduado

100 ml de 1.0 M H₂SO₄

misture tal adigão.

Reagentes e equipamentos

Someente parte do Mo₆₊ será reduzida. Por isso, amostras que contenham elevadas concentrações de fosforo não poderão ser diluídas uma vez formada a cor azul. O Sb é adicionado com vista a melhorar a formação do complexo azul de fosforomolibeno que absorve fortemente não só no espectro visível (720 nm) mas também próximo ao infravermelho (880 nm).

Em presença de um agente redutor, o Mo₆₊ do complexo é reduzido para Mo₃₊ e/ou Mo₅₊, que possui uma cor azulada característica. A intensidade da cor azul varia de acordo com a concentração dos fosfatos bem como o pH e as condições redox da amostra.



Este método é usado para determinar por espetrofotometria a concentração de fosforo. Ele baseia-se no princípio de que numa amostra ácida contendo ambos molibdato e ortofosfato, um fosfato de molibdeno é formado.

Princípio do método

DETERMINAÇÃO DE P - TOTAL

Diluirão e mistura do reagente I: mistura 60 ml do reagente misterioso com 25 ml de água e com 0,5 ml de Ácido Sulfúrico.

10 ml de solução de K-Sb-tartrato

30ml de solução de NH₄-molibdato

Reagente II: dissolva 0,60 g de ácido ascórbico em 100 ml de água destilada num balão volumétrico. (prepare as soluções diairamente).

Solução padrão 500 mg L⁻¹ de P: dissolva 2,19 g de KH₂PO₄ em água destilada num balão volumétrico de 1000 ml e perfaga o volume.

Solução padrão diluída, 50 mg L⁻¹ de P: pipete 10 ml da solução standard para um balão volumétrico de 100 ml e perfaga o volume com água destilada.

Seríe standard

Pipete para um balão volumétrico de 100 ml, que já contenha cerca de 50 ml de água destilada, 5 ml da mistura de digestão (H₂SO₄-Se). Misture e deixe a mistura arrefecer. Depois adicione respetivamente 0-2,0-4,0-6,0-8,0-10,0 ml da solução standard diluída. Dilua e perfaga o volume com água destilada. Esta série standard contém 0-1-2-3-4-5 mg L⁻¹ de fosforo.

- Espectrofotômetro (Figura A.3), apto para medições a 882nm
- Material de vidro

W_s - massa de solo.

b - concentrado de fósforo no ensaio em branco (mg L^{-1})

Onde: a - concentrado de P determinada na amostra (mg L^{-1})

$$P (\text{mg kg}^{-1} \text{ de solo}) = (a - b) \times 0.050 \times \frac{W_s}{1000} = \frac{50}{W_s} \times (a - b)$$

A concentração do fósforo total no solo é:

Calculos

880 nm.

por 10 horas) mega a intensidade da cor azul n comprimento de onda equivalente a para que a cor azul atinja o seu máximo de intensidade. (esta cor é estável pelo menos adicione 1 ml d reagente II e misture novamente. Deixe pelo menos por uma hora tubos de ensaio. Adicione 3 ml da solução diluída do reagente II e misture, depois pipete 1 ml respetivamente a série padrão, a amostra digerida e o branco para os

Metodologia

Figura A.3 UVVIS espetrofotômetro lambda 1 Perkin - Elmer



DETERMINAÇÃO DE POTÁSSIO

Introdução

O potássio é determinado por espetrofotometria de chama. Esta técnica é baseada no facto que os átomos liberados e excitados, de potássio, emitem luz num comprimento de onda específico.

Para vaporizar a solução, atomizar e excitar, usa-se uma chama de propano (ou butano) misturado com ar.

Potássio é um elemento excepcional, emitir luz numa intensidade suficiente, com os resultados com espectrofotometria de chama podem ser excelentes.

Comprimentos de onda específicos para K é 766.5 nm.

A intensidade da luz emitida, varia linearmente com a concentração de cada elemento. com uso dumha curva de calibragão (concentração Vs absorbância) podemos calcular a concentração de K na solução em análise, consequentemente a concentração no solo.

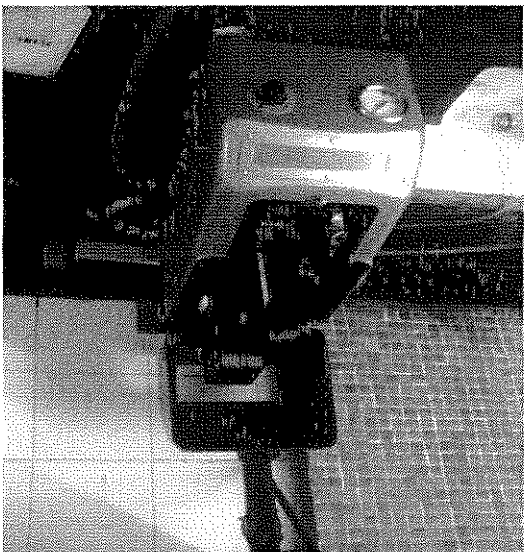
A presença dos outros elementos em solução podem provocar erros devido formação de óxidos como por exemplo CaO, que emite luz num comprimento de onda próximo de 766.5 nm. A formação desses óxidos pode ser evitadas com a adição de césio e alumínio.

Reagentes e equipamento

- Dissolver 10g CsCl e 250g Al(NO₃)₃·9H₂O num litro de água destilada.
- Solução de Cs/Al
- Balão volumétrico.
- Dissolver 77 g de acetato de amónia num litro de água destilada, use um balão volumétrico.
- Acetato de amónia 1M
- Copos, água destilada, pipetas, tubos de ensaio etc.
- Espectrofotômetro de chama equipado com filtros de K (Figura A.4).

Procedimentos

Figura A.4. Espectrofotômetro de chama AL - 675



Diluir 125 ml de HCl ate um litro com água destilada
• Solução de K de 1000 mg/l (na água destilada)
• Solução de Na de 1000 mg/l (na água destilada)
• Preparação da solução padrão (K: 500 mg/l)

Preparar para cada balão de 100 ml, 50 ml do padrão de K, preferavel o volume

com água destilada.

HCl 1.5 M
• Diluir 125 ml de HCl ate um litro com água destilada

Pipete 5 ml de cada amostra para um copo de polietileno de 25 ml ou para um tubo plástico, e junte 4 ml da solução tamponada Cs/AI.

Calibre o galvanômetro do espetrofotômetro a zero com o padrão 0.0 mg/l e afine o galvanômetro a 100 mg/l com o padrão mais alto.

Merga a absorvância de cada padrão e cada extrato da amostra. (quando uma amostra tiver uma concentração mais elevada que o último padrão, dilua a amostra e volte a mergelar a absorvância de cada padrão e cada extrato da amostra.

Constroi para os padrões, um gráfico da absorvância vs a concentração na medida.

Solução.

Constroi para os padrões, um gráfico da absorvância vs a concentração K na

Tabela A2.1. Valores aproximados de percentagem de nitrogénio e razão C/N de vários desperdícios (na base seca)

MATERIAL	N (%) ^(b)	C/N	DESPERDÍCIOS DE ANIMAIS
Urina	15-18	0.8	
Sangue	10-14	3	
Fish scraps	6.5-10	5.1 ^(c)	Mistura de desperdício de matadouros
			7-10
Estrume de aves domésticas	6.3	-	
Estrume de ovelha	3.8	-	
Estrume de porco	3.8	-	
Estrume de cavalo	2.3	25 ^(c)	Estrume de vaca
			1.7
Farmyard manure (average)	2.15	14	Farmyard manure (average)
Night soil	5.5-6.5	6-10	
Desperdícios de plantas			Grass clippings (feno)
Young grass clippings (feno)	4.0	12	2.4
Grass clippings (mistura)	19	19	19
Beldroega	4.5	8	8
Amaranthus	3.6	11	11
Cockfoot	2.6	19	19
Luzerna	2.4-3.0	16-20	Alga marítima
Cult straw	1.1	48	48
Desperdício de linho	1.0	58	58
Wheat straw	0.3	128	128
Rotted sawdust	0.25	208	208
Raw sawdust	0.1	511	511
Desperdícios domésticos			Lixo fresco
		22	25

Materia orgânica	(% peso seco)	C/N	N - total	Relação
Urina	16	1		
Sangue	12	4		
Fezes humanas	6	6	6 - 10	
Urina humana	-	18		
Esterco	15	6.3		
Ovinos	3.8	3.8		
Equinos	25	2.3		
Bovino	18	1.7		
Restos de culturas				
Gramma cortada	12	4		
Afalfa	17	2.8		
Palma de aveia	48	1.1		
Blue grass	19	2.5		
Cascas de amendoim	36	-		
Palha de trigo	150	0.5		
Serragem	200 - 500	0.1		
Soja	5	-		
Smemente de algodão	5	-		

Tabela A2.2. Valor da matéria orgânica em carbono e nitrogênio

Fonte: adaptado de national academy of science, pag. 45

(c) carbono não pertencente a lignina

(b) Nitrogênio total

Pão	2.1	2.1	Nada	Papel
Potato tops	1.5	1.5	-	

Nota: esta tabela representa uma média das medidas individuais de vários autores e deve ser usada apenas para aproximação

deve ser usada apenas para aproximação

<i>Tr(h)</i>	<i>Tr(dias)</i>	<i>V(ml)</i>	<i>Va(ml)</i>	<i>Tr(h)</i>	<i>Tr(dias)</i>	<i>V(ml)</i>	<i>Va(ml)</i>
Biodeigestão com agitador manual		Biodeigestão com agitador					
0	0.0	0	0	0	0.0	0	0
28	1.2	80	80	3	0.1	0	0
40	1.7	160	240	15	0.6	110	110
48	2.0	140	380	23	1.0	40	150
51	2.1	40	420	26	1.1	190	340
65	2.7	80	500	40	1.7	170	510
69	2.9	0	500	44	1.8	80	560
72	3.0	40	540	47	2.0	80	640
75	3.1	0	540	50	2.1	50	690
90	3.8	0	540	65	2.7	40	730
93	3.9	0	540	68	2.8	20	750
99	4.1	0	540	74	3.1	0	750
114	4.8	0	540	89	3.7	70	820
124	5.2	0	540	99	4.1	10	830
140	5.8	0	540	115	4.8	20	850
147	6.1	0	540	122	5.1	10	860
162	6.8	0	540	137	5.7	0	860
165	6.9	0	540	140	5.8	40	900
171	7.1	0	540	146	6.1	10	910
186	7.8	0	540	161	6.7	40	950
189	7.9	0	540	164	6.8	30	980
196	8.2	0	540	171	7.1	90	1070
328	13.7	0	540	303	12.6	40	1110
339	14.1	0	540	314	13.1	0	1110
353	14.7	0	540	328	13.7	0	1110
363	15.1	0	540	338	14.1	0	1110
377	15.7	0	540	352	14.7	0	1110
387	16.1	0	540	362	15.1	0	1110

Com $R^2=0,99$

$$y = -874,6x^4 + 2567x^3 - 3032x^2 + 1306x$$

Biodegradagão com agitagão continua

Com $R^2=0,99$

$$y = -11,61x^5 + 103,2x^4 - 433,6x^2 - 209,4x$$

Biodegradagão pela agitagão manual intermitente

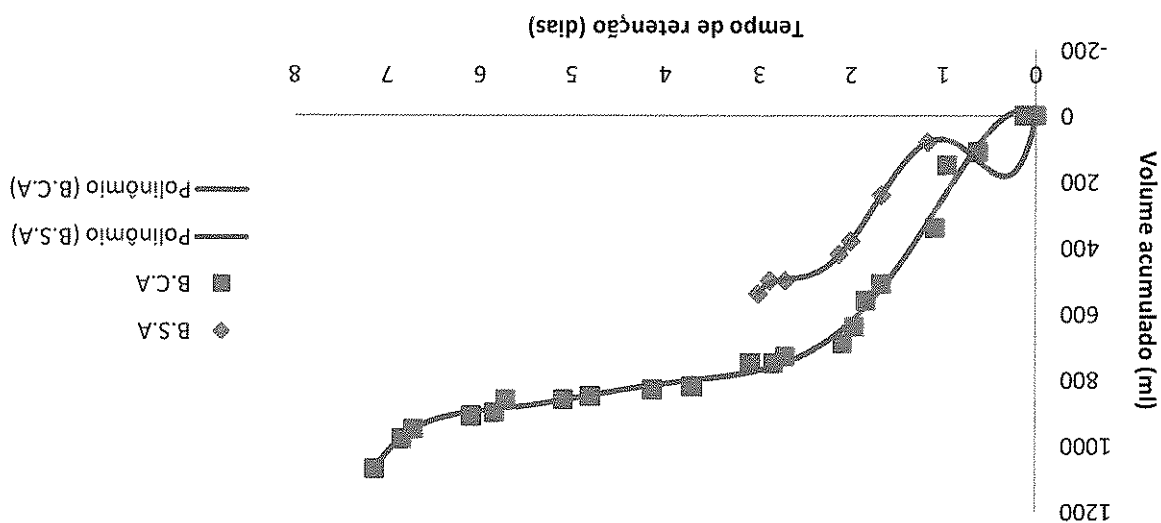
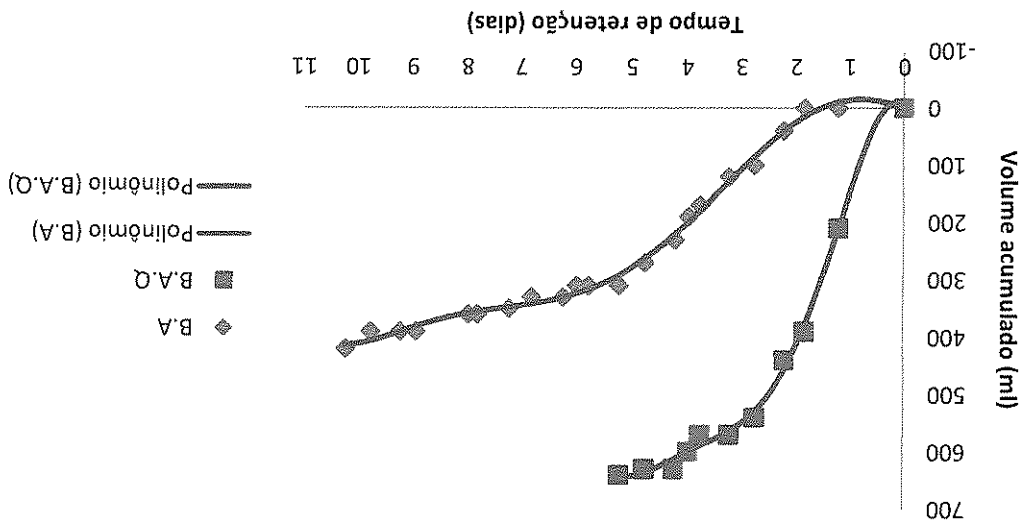


Tabela A.3.1. Dados do efeito da agitagão na biodegradagão

401	16,7	0	540	376	15,7	0	1110
-----	------	---	-----	-----	------	---	------

	Biodigestão a temperatura ambiente			Biodigestão com aquecimento			
Tr(h)	Tr(dias)	V(ml)	Va(ml)	Tr(h)	Tr(dias)	V(ml)	Va(ml)
0	0.0	0	0	0	0.0	0	0
29	1.2	0	0	29	1.2	210	210
44	1.8	0	0	44	1.8	180	390
53	2.2	40	40	53	2.2	50	440
66	2.8	60	100	66	2.8	100	540
77	3.2	20	120	77	3.2	30	570
90	3.8	50	170	90	3.8	0	570
95	4.0	20	190	95	4.0	30	600
101	4.2	40	230	101	4.2	30	630
114	4.8	40	270	114	4.8	0	630
125	5.2	40	310	125	5.2	10	640
143	6.0	0	310	143	6.0	0	640
149	6.2	20	330	149	6.2	0	640
163	6.8	0	330	163	6.8	0	640
173	7.2	20	350	173	7.2	0	640
187	7.8	10	360	187	7.8	0	640
191	8.0	0	360	191	8.0	0	640
214	8.9	30	390	214	8.9	0	640
221	9.2	0	390	221	9.2	0	640
234	9.8	0	390	234	9.8	0	640
245	10.2	30	420	245	10.2	0	640
259	10.8	0	420	259	10.8	0	640
269	11.2	20	440	269	11.2	0	640
282	11.8	0	440	282	11.8	0	640
293	12.2	0	440	293	12.2	0	640
304	12.7	0	440				

Table A.3.2. Efeito da temperatura na biodigestação



	318	328	342	352	399	414	424	438	448	462	472	490	496	510
13.3	13.7	14.3	14.7	16.6	17.3	17.7	18.3	18.7	19.3	19.7	20.4	20.7	20.7	21.3
0	0	40	0	10	0	0	0	0	10	10	10	30	50	0
440	440	480	480	490	490	490	490	490	500	510	520	550	550	550

Tr(h)	Tr(dias)	Vd(ml)	Va(ml)	Tr(h)	Tr(dias)	Vd(ml)	Va(ml)
0	0,0	0	0	0	0,0	0	0
24	1,0	5500	5500	24	1,0	240	240
48	2,0	500	6000	48	2,0	40	280
72	3,0	300	6300	72	3,0	0	280
96	4,0	100	6400	96	4,0	0	280
120	5,0	0	6400	120	5,0	0	280
144	6,0	0	6400	144	6,0	0	280
168	7,0	0	6400	168	7,0	0	280
192	8,0	0	6400	192	8,0	0	280

Tabela A.3.2.a. Efeito da temperatura na biodegradação

Com $R^2=0,99$

$$y = 36,48x^4 - 201,2x^3 + 442,6x^2 - 125,5x$$

Biodegradação a temperaturas próximas de 35°C

Com $R^2=0,99$

$$y = 0,387x^5 - 3,881x^4 + 13x^3 + 9,483x^2 - 32,93x$$

Biodegradação a temperatura ambiental

Com $R^2=1$

$$y = 340x$$

Biodegradagão a temperaturas entre os 57 a 59°C, para a amostra de C/N=14

Com $R^2=0,99$

$$y = -11,15x^2 + 87,4x^2 - 109,4x$$

Biodegradagão a temperaturas entre os 57 a 59°C, para a amostra de C/N=19

Com $R^2=1$

$$y = 2000x^3 - 7100x^2 + 10800x$$

Biodegradagão a temperaturas entre os 57 a 59°C, para a amostra de C/N=19

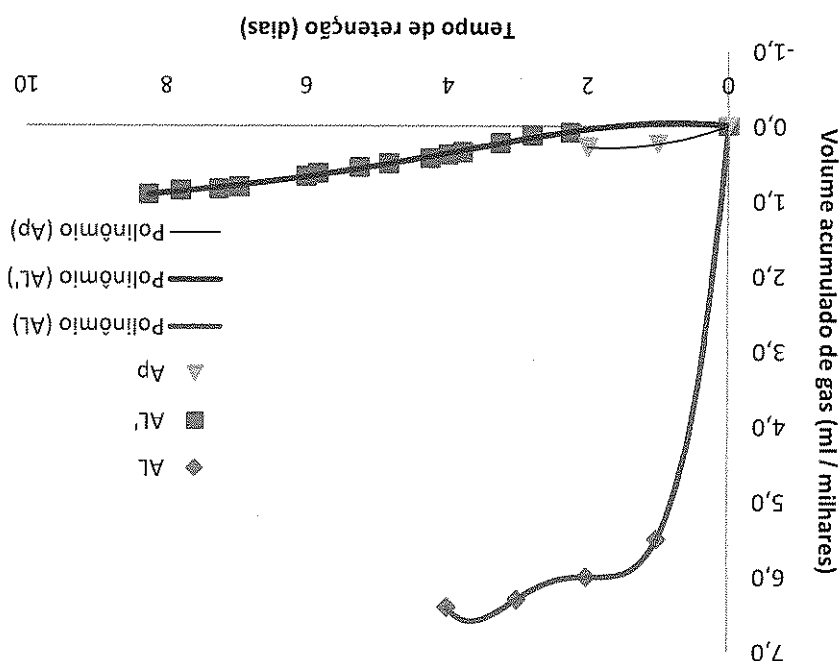
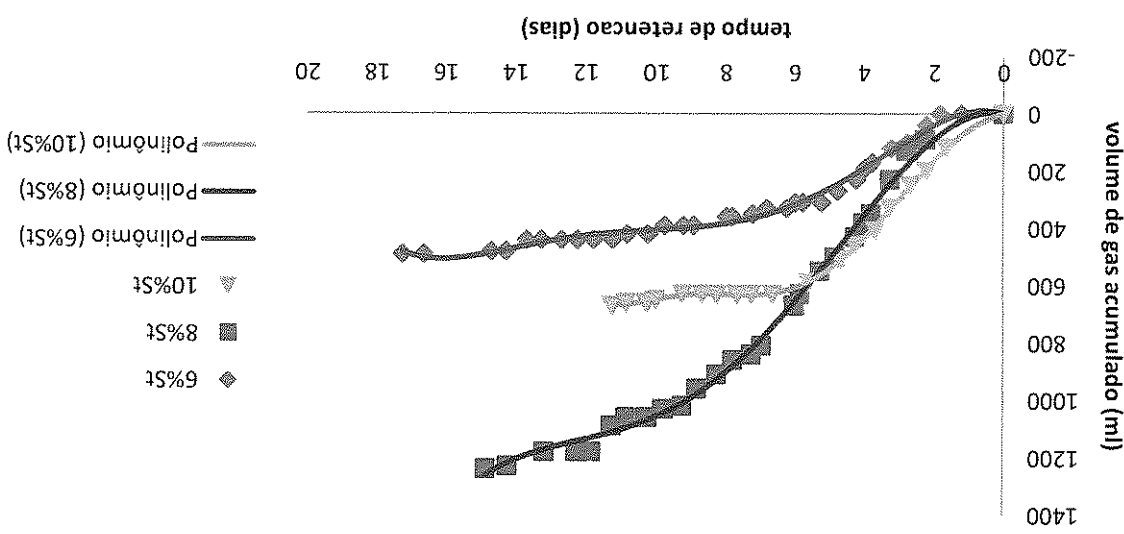


Tabela A.3.3. Efeito da concentração na biodispersão

tr(h)	tr(dias)	V(ml)	Va(ml)	tr(h)	tr(dias)	V(ml)	Va(ml)
Biodispersão a concentração de 6% s.t							
0	0.0	0	0	0	0.0	0	0
29	1.2	0	0	54	2.3	90	90
44	1.8	0	0	67	2.8	40	40
53	2.2	0	0	78	3.3	100	130
66	2.8	60	100	91	3.8	120	230
77	3.2	20	120	96	4.0	40	380
90	3.8	50	170	102	4.3	50	430
95	4.0	20	190	116	4.8	70	500
101	4.2	40	190	126	4.8	70	500
125	5.2	40	310	144	6.0	40	670
138	5.8	0	310	167	7.0	140	810
143	6.0	0	310	174	7.3	30	840
149	6.2	20	330	187	7.8	20	860
163	6.8	0	330	198	8.3	50	910
173	7.2	20	350	212	8.8	50	960
187	7.8	10	360	222	9.3	10	1020
191	8.0	0	360	235	9.8	10	1060
214	8.9	30	390	246	10.3	30	1090
221	9.2	0	390	260	10.8	0	1090
234	9.8	0	390	260	10.8	0	1060
245	10.2	30	390	270	11.3	30	1060
259	10.8	0	390	284	11.8	90	1180
269	11.2	20	420	294	12.3	0	1180
282	11.8	0	440	341	14.2	50	1230
293	12.2	0	440	356	14.8	10	1240
304	12.7	0	440	366	15.3	0	1240



	318	13.3	0	440	380	15.8	0	1240	
399	16.6	10	0	490	490	17.7	0	1240	
352	14.7	0	0	480	407	17.0	0	1240	
342	14.3	40	40	480	397	16.5	0	1240	
328	13.7	0	0	440	390	16.3	0	1240	
414	17.3	0	0	490	431	18.0	30	1270	
424	17.7	0	0	490	445	18.5	0	1270	
438	18.3	0	0	490	455	19.0	30	1300	
448	18.7	0	0	490	475	19.8	0	1300	
462	19.3	10	10	500	549	22.9	0	1300	
472	19.7	10	10	510	569	23.7	0	1300	
490	20.4	10	10	520	593	24.7	0	1300	
496	20.7	30	50	550	617	25.7	20	1320	
510	21.3	0	0	550	550				
520	21.7	0	0	550	550				
540	22.5	20	20	550	570				
604	25.2	40	40	610					

	Biodegradação a 6% de sólidos totais			Biodegradação a 8% de sólidos totais			Biodegradação a 10% de sólidos totais		
	Tr(h)	V(ml)	Va(ml)	Tr(h)	V(ml)	Va(ml)	Tr(h)	V(ml)	Va(ml)
0	0.0	0	0	0	0.0	0	0	0	0
16	0.7	170	170	16	0.7	160	160	0.7	790
40	1.7	270	270	40	1.7	260	420	1.7	690
50	2.1	100	540	50	2.1	70	490	2.1	1480
66	2.8	130	670	66	2.8	60	550	2.8	2330
76	3.2	70	740	76	3.2	40	590	3.2	2640
92	3.8	30	800	92	3.8	0	590	3.8	3030
102	4.3	30	800	102	4.3	30	620	4.3	3270
116	4.8	20	820	116	4.8	0	620	4.8	3640
144	6.0	80	900	144	6.0	30	650	6.0	4430
164	6.8	90	990	164	6.8	10	660	6.8	4910
174	7.3	30	1020	174	7.3	40	700	7.3	5160

Tabela A.3.4. Efeito da adição de inoculo na biodegradação

Com $R^2=0,99$

$$y = 0,255x^5 - 2,502x^4 + 6,037x^3 + 20,93x^2 + 32,37x$$

Biodegradação a 10% de sólidos totais

Com $R^2=0,99$

$$y = -4,589x^3 + 45,67x^2 - 28,60x$$

Biodegradação a 8% de sólidos totais

Com $R^2=0,99$

$$y = 0,437x^4 - 7,056x^3 + 44,93x^2 - 44,71x$$

Biodegradação a 6% de sólidos totais

188	7.8	30	1050	188	7.8	0	700	188	7.8	90	5250	
194	8.1	70	1120	194	8.1	50	750	194	8.1	200	5450	
212	8.8	10	1130	212	8.8	10	760	212	8.8	10	5460	
222	9.3	40	1170	222	9.3	0	760	222	9.3	250	5710	
236	9.8	0	1170	236	9.8	0	760	236	9.8	150	5860	
242	10.1	50	1220	242	10.1	30	790	242	10.1	160	6020	
256	10.7	0	1220	256	10.7	0	790	256	10.7	0	6020	
266	11.1	50	1270	266	11.1	40	830	266	11.1	0	6020	
284	11.8	0	1270	284	11.8	0	830	284	11.8	0	6020	
312	13.0	30	1300	312	13.0	30	860	312	13.0	320	6340	
328	13.7	20	1320	328	13.7	20	880	328	13.7	90	6430	
338	14.1	0	1320	338	14.1	0	880	338	14.1	0	6430	
352	14.7	0	1320	352	14.7	0	880	352	14.7	0	6430	
362	15.1	0	1320	362	15.1	0	880	362	15.1	0	6430	
376	15.7	0	1320	376	15.7	0	880	376	15.7	0	6430	
386	16.1	0	1320	386	16.1	0	880	386	16.1	0	6430	
400	16.7	0	1320	400	16.7	0	880	400	16.7	0	6430	
410	17.1	20	1340	410	17.1	0	880	410	17.1	0	6430	
424	17.7	0	1340	424	17.7	0	880	424	17.7	0	6430	
434	18.1	0	1340	434	18.1	0	880	434	18.1	0	6430	
448	18.7	0	1340	448	18.7	0	880	448	18.7	0	6430	

Com $R^2=0,99$

$$y = -34,87x^2 + 941,1x$$

Biodegradado com 30% de inoculo adicionado

Com $R^2=0,99$

$$y = 5,589x^3 - 64,61x^2 + 334,4x$$

Biodegradado com 20% de inoculo adicionado

Com $R^2=0,99$

$$y = 4,656x^3 - 55,25x^2 + 352,1x$$

Biodegradado com 10% de inoculo adicionado

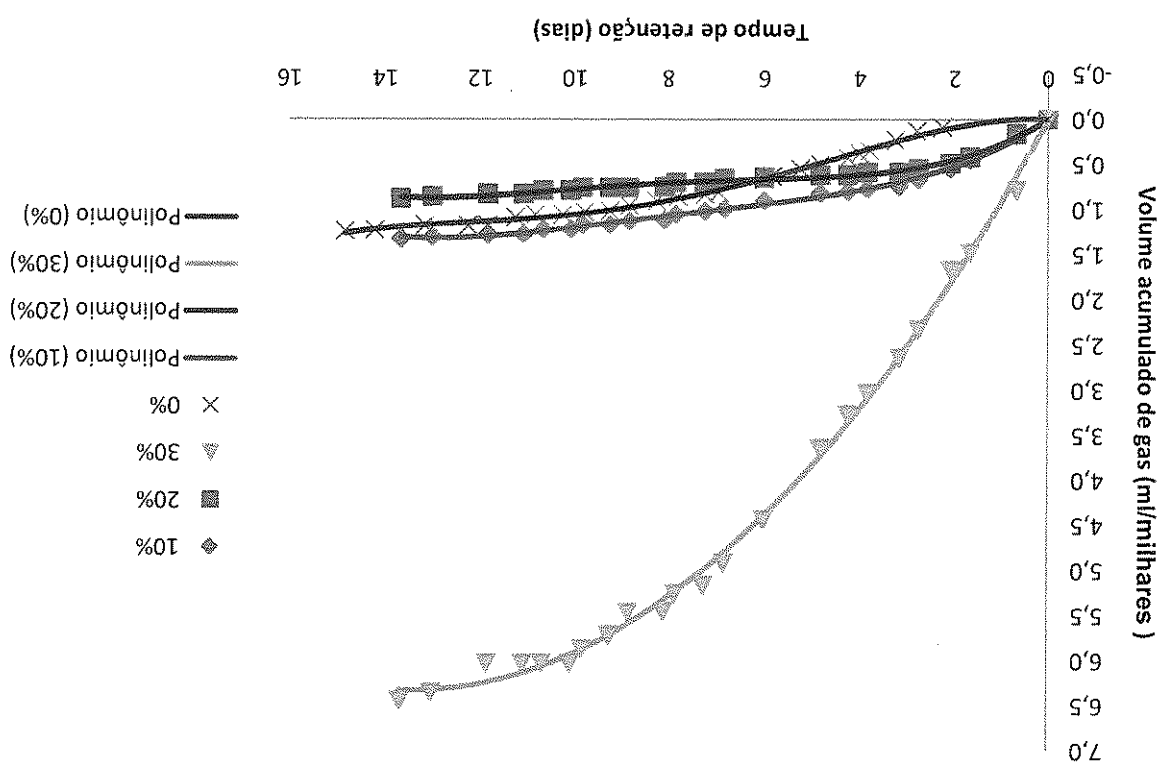
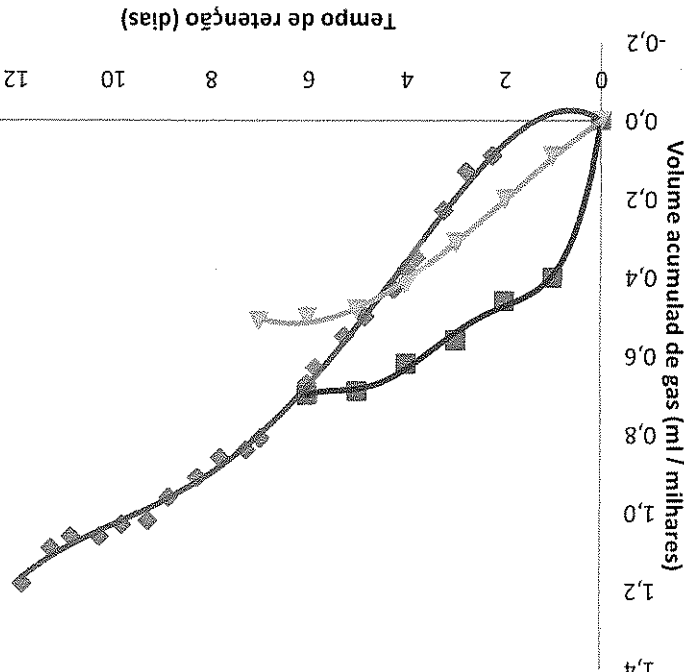


Table A.3.5. Efeito da razão C/N na biodegradação

Tr(h)	Tr(dias)	Vd(ml)	Va(ml)	Tr(h)	Tr(dias)	Vd(ml)	Va(ml)
0	0.0	0	0	0	0.0	0	0
24	1.0	400	400	24	1.0	90	90
48	2.0	60	460	48	2.0	110	200
72	3.0	100	560	72	3.0	110	310
96	4.0	60	620	96	4.0	110	420
120	5.0	70	690	120	5.0	60	480
144	6.0	10	700	144	6.0	20	500
168	7.0	0	700	168	7.0	10	510
192	8.0	0	700	192	8.0	0	510
216	9.0	0	700	216	9.0	0	510
240	10.0	0	700	240	10.0	0	510
264	11.0	0	700	264	11.0	0	510
288	12.0	0	700	288	12.0	0	510

▲ C/N = 40
 ■ C/N = 30
 ◆ C/N = 19
 — Polinômio (C/N = 40)
 — Polinômio (C/N = 30)
 — Polinômio (C/N = 19)



Biodegradação a C/N=19

Com $R^2=0,99$

$$y = -8,13x^3 + 70,69x^2 - 81,21x$$

Biodegradação a C/N=30

Com $R^2=0,99$

$$y = -25,44x^4 + 167,9x^3 - 504,6x^2 + 755,2x$$

Biodegradação a C/N=40

Com $R^2=0,99$

$$y = 12,15x^2 + 85,28x$$

Com $R^2=0,99$